

อภิปรัชนาการ



รายงานวิจัยฉบับสมบูรณ์

โครงการ โครงสร้างและสมบัติทางแสงของกระจกแบ่งลำแสงที่
เตรียมด้วยวิธีสปีตเตอริง

สำนักหอสมุด มหาวิทยาลัยนเรศวร

วันลงทะเบียน 20 พฤษภาคม 2562

เลขทะเบียน 1023679

เลขเรียกหนังสือ ๑๐๖

๑๗๖

๔.๕.๙๒

๑๑๔๘
๒๕๖๐

ผศ.ดร.คเชนทร์ แดงอุdom

นางสาวพราวิณี บุญเรศ

นายแสงเพชร บุญผาง

มีนาคม 2560

สัญญาเลขที่ R2560C076

รายงานวิจัยฉบับสมบูรณ์

โครงการ โครงสร้างและสมบัติทางแสงของกระเจาแบ่งจำแสงที่
เตรียมด้วยวิธีสป็อกเตอริง



คณะวิทยาศาสตร์ มหาวิทยาลัยนเรศวร

สนับสนุนโดยกองทุนวิจัยมหาวิทยาลัยนเรศวร

ชื่อเรื่อง โครงการสร้างและสมบูติทางแสงของกระจากแบ่งลำแสงที่เตรียมตัวยิวิสปีดเตอริง

ผู้วิจัย ผศ.ดร.คเณฑ์ แดงอุดม
นางสาวพารวิณี บุญเรศ¹
นายแสงเพชร บุญพา²

บทคัดย่อ

ในงานวิจัยนี้มีจุดประสงค์เพื่อศึกษาการเคลือบฟิล์มบางเงินบนกระจากด้วยวิธีสปีดเตอริงที่ความหนา 0, 10, 20, 30, 40, 50, 60, 70, 80, 90 และ 100 นาโนเมตร วิเคราะห์ลักษณะทางกายภาพด้วยกล้องจุลทรรศน์อิเล็กตรอนแบบส่องการดักจำลังข่าย 5,00 และ 10,000 เท่า พบร่วมกับเมื่อเคลือบเงินที่ความหนามากขึ้นจะพบว่าเงินจะมีการเกาะตัวที่แน่นและสม่ำเสมอมากขึ้น วัดสมบัติการส่องผ่านที่มุนต์กกรอบ 0, 15, 30, 45, 60 และ 75 องศา และสมบัติการสะท้อนที่มุนต์กกรอบตั้งแต่ 15, 30, 45, 60 และ 75 องศา ด้วยตัวน้ำเงินแสดงความยาวคลื่น 405, 532, 650 และ 780 นาโนเมตร พบว่าที่ความหนา 40 นาโนเมตร มีการสะท้อนแสงได้ดีในทุกช่วงความยาวคลื่น และได้ค่าสัมประสิทธิ์การส่องผ่านและการสะท้อนแสงที่มุนต์กกรอบต่างๆ ของแสงแต่ละความยาวคลื่นเพื่อเป็นข้อมูลในการนำกระจากเคลือบฟิล์มบางเงินแต่ละความหน้าไปใช้งานต่อไปได้

คำสำคัญ ฟิล์มบางเงิน / สปีดเตอริง / การส่องผ่านของแสง

Title	Structural and optical properties of beam splitter prepared by sputtering technique.
Author	Kachain Dangudom
	Parvinee Boonyaras
	Sangphet Boonpang

Abstract

This research was fabricated a silver-coated glass thin film using sputtering technique with 0, 10, 20, 30, 40, 50, 60, 70, 80, 90 & \approx 100 nm thickness. Physical characteristics of thin film were studied by scanning electron microscope with magnification 500X and 10,000X. It was found that the surface of thin films were thick and smooth when the thickness increase. Then the optical properties-transmission were measured at various incident angle 0, 15, 30, 45, 60 and 75 degree with light wavelength 405, 532, 650 and 780 nanometer. The reflection coefficients were measure at various incident angle 15, 30, 45, 60 and 75 degree with light wavelength 405, 532, 650 and 780 nanometer. We found that at 40 nm thickness has the best reflective in every incident angle and we get the information of transmission and reflection coefficients at various incident angle for useful in optical beam splitter application.

Keywords : thin film silver / sputtering / transmittance light

สารบัญ

บทที่

หน้า

กิตติกรรมประกาศ

ก

บทคัดย่อภาษาไทย

ข

บทคัดย่อภาษาอังกฤษ

ค

สารบัญ

ง

สารบัญรูป

ช

1 บทนำ

1

ความเป็นมาและความสำคัญของปัจจุบัน

1

จุดมุ่งหมายของการวิจัย

2

ขอบเขตการวิจัย

2

ประโยชน์ที่คาดว่าจะได้รับ

2

2 ทฤษฎีและงานวิจัยที่เกี่ยวข้อง

3

2.1 สเปกตรัม

3

2.2 แสง

6

2.3 เลเซอร์

10

2.4 เครื่อง vacuum coating

13

2.5 ทฤษฎีเบื้องต้นของการสเปกตรอฟิล์ม

14

2.6 เทคนิค ดีซี แมกนีตอรอนสเปกต์เตอฟิล์ม

15

2.7 เงิน

18

2.8 กล้องจุลทรรศน์อิเล็กตรอนแบบส่องการดู

19

2.9 หัวดัดแสงไฟไดโอด

21

2.10 เครื่องวัดมัลติมิเตอร์

23

2.11 กระเจก

26

2.12 งานวิจัยที่เกี่ยวข้อง

29

3 วิธีดำเนินการวิจัย

31

3.1 เคลื่อนฟิล์มบางเงินบนกระดาษด้วยวิธีสเปกต์เตอฟิล์ม

31

3.2 วิเคราะห์สมบัติทางกายภาพของราชากลีบฟิล์มบางเงิน	32
3.3 วิเคราะห์สมบัติการส่องผ่านและการสะท้อน	33
4 ผลการทดลองและการวิเคราะห์ข้อมูล	37
4.1 ราชากลีบฟิล์มบางเงิน	37
4.2 ผลการวิเคราะห์ลักษณะทางกายภาพ	39
4.3 ผลการวิเคราะห์สมบัติการส่องผ่านและการสะท้อนของแสง	41
5 บทสรุป	68
บรรณานุกรม	70



สารบัญรูป

รูปที่	หน้า
2.1 สเปกตรัมของคลื่นแม่เหล็กไฟฟ้า	3
2.2 สเปกตรัมของแสงที่ตามนิยามของเห็น	4
2.3 สเปกตรัมต่อเนื่อง	4
2.4 สเปกตรัมไม่ต่อเนื่องของธาตุบางชนิด	5
2.5 สเปกตรัมของแสงขาว	6
2.6 การสะท้อนแสงบนวัตถุผิวเรียบและการสะท้อนแสงผิวขุขระ	8
2.7 ลักษณะการเกิดหักเหของแสง	8
2.8 ลักษณะของแสงเมื่อตกกระทบวัตถุ	9
2.9 He-Ne Laser ก้าชบรรจุอยู่ในหลอดแก้ว	11
2.10 เลเซอร์ทับทิมเครื่องแรก	12
2.11 laser pointer ซึ่งเป็นเลเซอร์สารกึ่งตัวนำ	13
2.12 เครื่อง vacuum coating	14
2.13 การเกิดสปัตเตอริจิ้งที่ผิวเป้า	15
2.14 การเคลื่อนที่เป็นวงกลมของอิเล็กตรอนที่ถูกกักเก็บไว้ที่ผิวเปลือกในเส้นทางเดือน လอยของสนามไฟฟ้าและสนามแม่เหล็กตามขวางที่มีทิศทางตั้งฉากกัน	17
2.15 เงิน	19
2.16 พื้นผิวที่ได้จากการวิเคราะห์ด้วยเครื่อง SEM	20
2.17 กล้องจุลทรรศน์อิเล็กตรอนแบบส่องกราด	21
2.18 วงจรไฟโต้ไดโอด	21
2.19 ไฟโต้ไดโอด	22
2.20 วงจรไฟฟารานซิสเตอร์	22
2.21 มัลติมิเตอร์แบบเข็ม	24
2.22 มัลติมิเตอร์แบบตัวเลข	24
2.23 กระจากสะท้อนแสง	29
3.1 (ก) กระจากสีลด์ (ข) อะซิโน	31
3.2 เครื่อง Vacuum coating รุ่น EDWARD 603 sputtering magnetron	32

3.3 เลเซอร์ไดโอดและเลเซอร์อินฟารेड	33
3.4 หัวดัดสูงไฟโตไดโอด	34
3.5 แสดงขุดการจัดตั้งระบบการวิเคราะห์ความเข้มแสงสองฝ่าย และการสะท้อนของแสงโดยยิงตันกำเนิดแสงเข้าตัวดัดโดยตรง	35
3.6 ขุดการจัดตั้งระบบการวิเคราะห์ความเข้มแสงสองฝ่ายและการสะท้อน ของแสงโดยยิงตันกำเนิดแสงฝ่ายจากเคลื่อนฟิล์มบางเงิน	36
3.7 ระบบวิเคราะห์การส่องฝ่านและการสะท้อนของแสงในขุดการจัดตั้งระบบจริง	36
4.1 กระจกเคลื่อนฟิล์มบางเงินด้วยความหนาต่างๆ	38
4.2 ภาพถ่ายจากกล้องจุลทรรศน์อิเล็กตรอนแบบส่องกราด 20 นาโนเมตร	39
4.3 ภาพถ่ายจากกล้องจุลทรรศน์อิเล็กตรอนแบบส่องกราด 40 นาโนเมตร	40
4.4 ภาพถ่ายจากกล้องจุลทรรศน์อิเล็กตรอนแบบส่องกราด 60 นาโนเมตร	40
4.5 ภาพถ่ายจากกล้องจุลทรรศน์อิเล็กตรอนแบบส่องกราด 80 นาโนเมตร	41
4.6 ภาพถ่ายจากกล้องจุลทรรศน์อิเล็กตรอนแบบส่องกราด 100 นาโนเมตร	41
4.7 ร้อยละความเข้มแสงสองฝ่าย 405 นาโนเมตร ของกระจกเคลื่อนฟิล์มบางเงิน	47
4.8 ร้อยละการสะท้อนแสง 405 นาโนเมตร ของกระจกเคลื่อนฟิล์มบางเงิน	48
4.9 ร้อยละการดูดกลืนแสง 405 นาโนเมตร ของกระจกเคลื่อนฟิล์มบางเงิน	49
4.10 ร้อยละความเข้มแสงสองฝ่าย 532 นาโนเมตร ของกระจกเคลื่อนฟิล์มบางเงิน	53
4.11 ร้อยละการสะท้อนแสง 532 นาโนเมตร ของกระจกเคลื่อนฟิล์มบางเงิน	54
4.12 ร้อยละการดูดกลืนแสง 532 นาโนเมตร ของกระจกเคลื่อนฟิล์มบางเงิน	55
4.13 ร้อยละความเข้มแสงสองฝ่าย 650 นาโนเมตร ของกระจกเคลื่อนฟิล์มบางเงิน	59
4.14 ร้อยละการสะท้อนแสง 650 นาโนเมตร ของกระจกเคลื่อนฟิล์มบางเงิน	60
4.15 ร้อยละการดูดกลืนแสง 650 นาโนเมตร ของกระจกเคลื่อนฟิล์มบางเงิน	61
4.16 ร้อยละความเข้มแสงสองฝ่าย 780 นาโนเมตร ของกระจกเคลื่อนฟิล์มบางเงิน	65
4.17 ร้อยละการสะท้อนแสง 780 นาโนเมตร ของกระจกเคลื่อนฟิล์มบางเงิน	66
4.18 ร้อยละการดูดกลืนแสง 780 นาโนเมตร ของกระจกเคลื่อนฟิล์มบางเงิน	67

บทที่ 1

บทนำ

ความเป็นมาและความสำคัญของปัจจุบัน

ในปัจจุบันเทคโนโลยีการเคลือบฟิล์มบางได้เริ่มเข้ามามีบทบาทต่อการดำเนินชีวิตของมนุษย์ทั้งทางตรงและทางอ้อมทำให้มนุษย์มีการดำรงชีวิตที่สะดวกสบายมากขึ้น การเคลือบฟิล์มบางแสงในสิ่นไนโตรเจนสำหรับงานทางด้านอุปกรณ์โทรคมนาคมหรือการนำฟิล์มบางแสงสามารถนำไปประยุกต์ใช้ทางด้านพลังงาน เช่น เซลล์พลังงานแสงอาทิตย์ หรือประยุกต์ใช้ทางด้านอุตสาหกรรมต่างๆ เช่น อุตสาหกรรมไมโครอิเล็กทรอนิกส์ยาร์ดดิสก์ไดร์ฟ นอกจากนี้ฟิล์มบางแสงที่สัมผัสได้มากที่สุดก็คือ การเคลือบฟิล์มบาง dielectric-Ag-dielectric ซึ่งมีสมบัติในการเป็นกระจกสะท้อนความร้อนที่ดี และมีการประยุกต์ใช้กับกระจกภายนอกอาคาร เพื่อลดการส่องผ่านของรังสีอินฟราเรดซึ่งเป็นรังสีความร้อน

การเคลือบฟิล์มบางด้วยกระบวนการทางพิสิกส์นั้นก็มีอยู่ด้วยกันหลายวิธี เช่น การทำให้เป็นไอโดยความร้อน (Thermal evaporation) สปัตเตอริ่ง (Sputtering)^[1] การเคลือบด้วยไอจากอาร์ก (Arc vapor deposition) ซึ่งแต่ละวิธีก็มีข้อดีข้อเสียต่างกันออกไป แต่มีวิธีหนึ่งที่มีประสิทธิภาพในการเคลือบสูงคือ การเคลือบด้วยวิธีสปัตเตอริ่ง กระบวนการนี้จะเกิดขึ้นภายใต้ความดันค่าประมาณ $10^{-3} - 10^{-1}$ mbar และอาศัยการดิสchar์จไฟฟ้าของแก๊สทำให้แตกตัวเป็นไอออก จากนั้นไอออกจะถูกเร่งให้วิ่งเข้าชนแผ่นเป้าสารเคลือบ(target) ซึ่งต่ออยู่กับขั้วลบของแหล่งกำเนิดไฟฟ้าแรงสูง อนุภาคของเป้าสารเคลือบที่ถูกชนด้วยไอออกของแก๊สพลังงานสูงนั้นจะหลุดจาก เป้าสารเคลือบและวิ่งออกมารด้วยความเร็วสูงเข้าชนและทับทม (deposition) เป็นชั้นของฟิล์มบางเคลือบ ลงบนวัสดุรองรับ (substrate) ในทุกทิศทางและเนื่องจากพลังงานของอนุภาคสารเคลือบที่หลุดออกมาราบกระบวนการสปัตเตอริ่งนี้สูงมาก ดังนั้นเมื่อตอกกระแทบบนวัสดุรองรับก็จะเกิดการฝังตัวลงในเนื้อของวัสดุรองรับทำให้การยึดเกาะของฟิล์มบางที่เคลือบได้มากขึ้น ข้อดีของ การเคลือบด้วยวิธีสปัตเตอริ่งคือวัสดุรองรับหรือวัสดุที่ต้องการเคลือบนั้นอาจเป็นโลหะหรือโลหะก็ได้ ขณะเดียวกันสารที่ต้องการเคลือบอาจเป็นโลหะหรือโลหะก็ได้ เช่นเดียวกัน ปัจจุบันในภาคอุตสาหกรรมนี้ได้มีการนำวิธีการเคลือบแบบสปัตเตอริ่งมาใช้ในกระบวนการผลิตอุปกรณ์ เครื่องมือและวัสดุต่างๆ มากมายโดยฟิล์มบางที่เคลือบได้นั้นอาจเป็นแบบชั้นเดียวหรือแบบหลายชั้น

ขั้นอาจเป็นฟิล์มของสารชนิดเดียว อัลลอยด์ หรือสารประกอบ และอาจมีลักษณะหรือขนาดแตกต่างกันไปขึ้นอยู่กับลักษณะการใช้งานเป็นสำคัญ

สำหรับงานวิจัยขึ้นนี้เป็นการเคลือบฟิล์มบางเงินบนกระจกเพื่อใช้เป็นกระจกส่องผ่านหรือสะท้อนบางส่วนที่ใช้งานเฉพาะเจาะจงในแต่ละความยาวคลื่นด้วยวิธีสปัตเตอริ่ง โดยใช้เงินซึ่งเป็นโลหะมาเป็นเปล่าในระบบเพื่อศึกษาสมบัติทางแสงหาเงื่อนไขการสะท้อนและการส่องผ่านของตัวนำนิ่งแสงความยาวคลื่นเฉพาะค่าที่มุ่งตั้งแต่ต่างๆและศึกษาลักษณะทางกายภาพของกระจกเคลือบฟิล์มบางเงินฟิล์มบางเงินที่ความหนาต่างๆ

จุดมุ่งหมายของการวิจัย

1. เพื่อศึกษาระบวนการเคลือบฟิล์มบางเงินของกระจกด้วยวิธีสปัตเตอริ่ง
2. เพื่อวิเคราะห์สมบัติทางกายภาพของกระจกเคลือบฟิล์มบางเงิน
3. เพื่อวิเคราะห์สมบัติทางแสงของกระจกเคลือบฟิล์มบางเงิน

ขอบเขตการวิจัย

1. ประดิษฐ์กระจกเคลือบฟิล์มบางเงินด้วยวิธีสปัตเตอริ่ง ที่ความหนา 10, 20 30, 40, 50, 60, 70, 80, 90 และ 100 นาโนเมตร
2. วิเคราะห์สมบัติทางกายภาพของกระจกเคลือบฟิล์มบางเงินด้วยภาพถ่าย SEM
3. วิเคราะห์สมบัติทางแสงของกระจกเคลือบฟิล์มบางเงินโดยใช้แหล่งกำเนิดเลเซอร์ 4 ความยาวคลื่น ดังนี้ 405, 532, 650 และ 780 นาโนเมตร

ประโยชน์ที่คาดว่าจะได้รับ

1. ทราบถึงกระบวนการเคลือบฟิล์มบางเงินบนกระจกด้วยวิธีสปัตเตอริ่งได้
2. ทราบถึงลักษณะทางกายภาพของกระจกเคลือบฟิล์มบางเงิน
3. ทราบถึงสมบัติทางแสงในแต่ละความยาวคลื่นของกระจกเคลือบฟิล์มบางเงินที่มุ่งตั้งแต่ต่างๆ สำหรับการเคลือบฟิล์มบางเงินที่ความหนาต่างๆ
4. สามารถนำกระจกเคลือบฟิล์มบางเงินที่ได้ไปใช้งานเป็นกระจกส่องผ่านหรือ กระจกสะท้อนบางส่วนที่ใช้งานเฉพาะเจาะจงแต่ละความยาวคลื่นได้

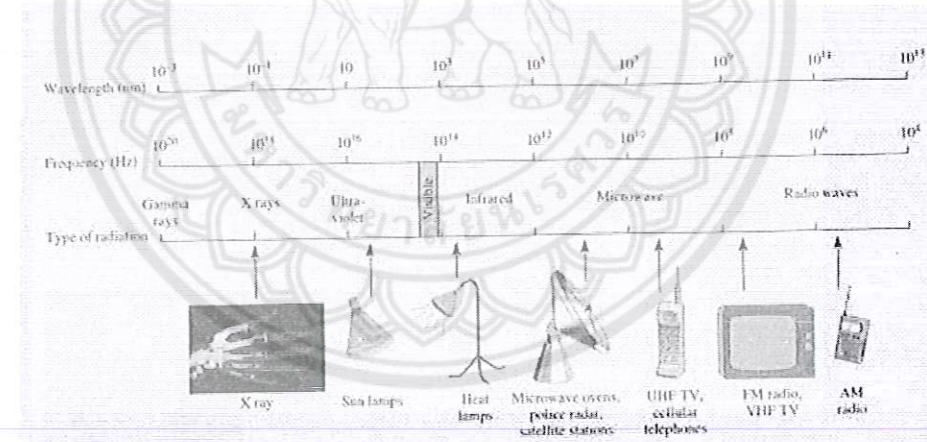
บทที่ 2

ทฤษฎีและงานวิจัยที่เกี่ยวข้อง

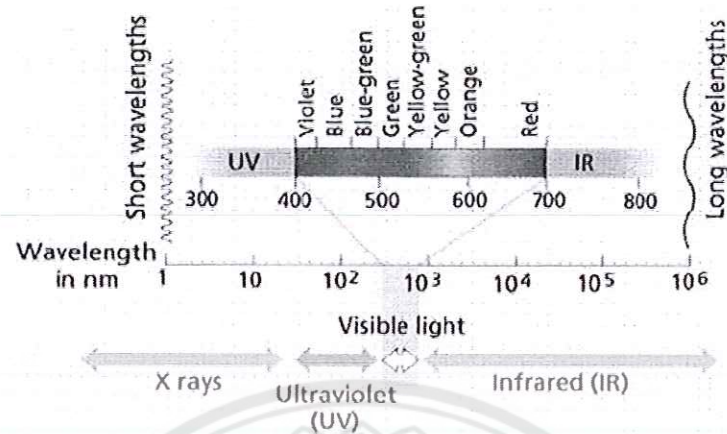
2.1 สเปกตรัม (Spectrum)^[2]

สเปกตรัม หมายถึง อนุกรมแบบสืบเรื่องเส้นสีที่ได้จากการผ่านพลังงานแสงเข้าไปในสเปกโตรสโคปแล้วทำให้พลังงานแสงแยกออกเป็นแบบสีที่เรียงกันตามความยาวคลื่นหรือได้เส้นสีที่มีค่าความยาวคลื่นค่าใดค่าหนึ่ง

สเปกตรัมของคลื่นแม่เหล็กไฟฟ้าจะประกอบด้วยคลื่นแม่เหล็กไฟฟ้าที่มีความถี่และความยาวคลื่นแตกต่างกัน ซึ่งครอบคลุมตั้งแต่ คลื่นอัลตราไวโอเลต อินฟราเรด คลื่นวิทยุ โทรทัศน์ ไมโครเวฟ รังสีเอกซ์ รังสี gamma เป็นต้นดังรูปที่ 2.1 และ 2.2



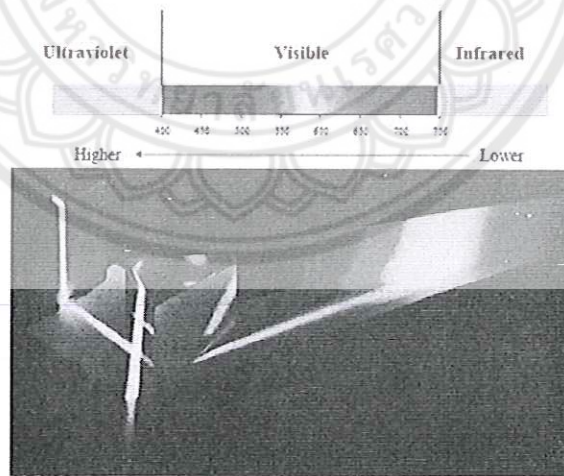
รูปที่ 2.1 สเปกตรัมของคลื่นแม่เหล็กไฟฟ้า



รูปที่ 2.2 สเปกตรัมของแสงที่ตามนิยมของเห็น

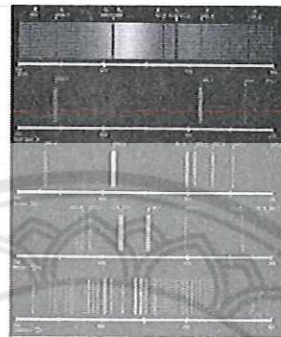
สเปกตรัมแบ่งออกได้เป็น 2 ประเภท คือ

1. สเปกตรัมต่อเนื่อง หมายถึง สเปกตรัมที่ประกอบด้วยแถบของสีที่มีค่าความถี่หรือความยาวคลื่นต่อเนื่องกัน เช่น สเปกตรัมที่เกิดจากแสงอาทิตย์ ดังรูปที่ 2.3



รูปที่ 2.3 สเปกตรัมต่อเนื่อง

2. สเปกตรัมไม่ต่อเนื่อง หมายถึง สเปกตรัมที่มีลักษณะเป็นเส้นสีหรือแถบสีเล็กๆ ที่ไม่ต่อเนื่องกัน (ความถี่ไม่ต่อเนื่องกัน) มีช่องว่างระหว่างเส้น เส้นสีที่เกิดขึ้นเรียกว่าเส้นสเปกตรัม เช่น สเปกตรัมที่เกิดจากแสงรังสีจากหลอดไฟฟ้าที่บรรจุธาตุไโอลูเจน ดังรูปที่ 2.4

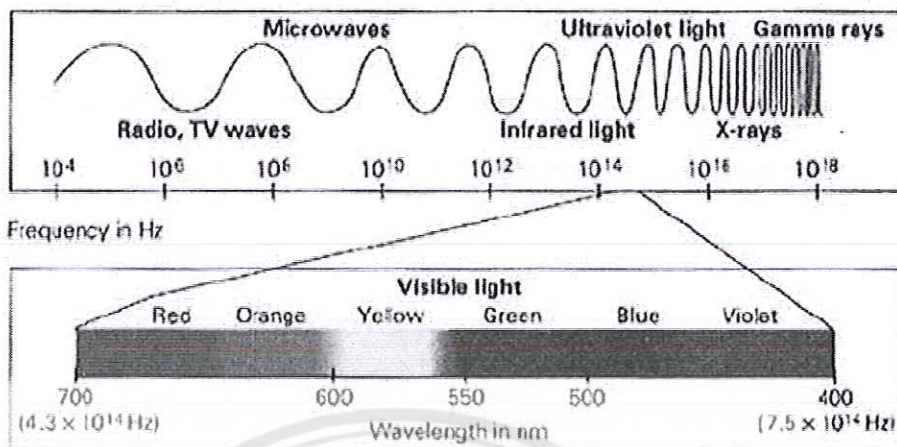


รูปที่ 2.4 สเปกตรัมไม่ต่อเนื่อง (Discontinuous Spectrum) ของธาตุบางชนิด

ถ้าให้แสงขาวผ่านปริซึมแสงขาวจะเบนกระจายออกเป็นแสงสีต่างๆ คือ ม่วง คราม น้ำเงิน เขียว เหลือง ส้ม แดง แสงทุกสีจะต่อเนื่องกันไปเรียกแถบสีทั้ง 7 สีที่ต่อเนื่องกันว่า สเปกตรัมแสงขาวและจัดเป็นสเปกตรัมชนิดต่อเนื่องการที่แสงสีขาวแยกเป็นแถบสเปกตรัมนี้ผ่านปริซึมเกิด เนื่องจาก เมื่อแสงขาวเดินทางจากอากาศผ่านตัวกล้องจะเกิดการหักเหและกระจายออกเป็นแสงสีต่างๆ ตาม ความยาวคลื่นของแสงโดยแสงสีที่มีความยาวคลื่นสั้นจะหักเหได้มากกว่าแสงที่มีความยาวคลื่น ยาว เช่น แสงสีม่วงมีความยาวคลื่นสั้นที่สุดจึงหักเหได้มากที่สุดในขณะที่แสงสีแดงมีความยาว คลื่นยาวที่สุดจึงหักเหได้น้อยที่สุด ดังตาราง 2.1 และรูปที่ 2.5

ตารางที่ 2.1 ความยาวคลื่นของแสงสีต่างๆ ในแถบสเปกตรัมของแสงขาว

สีของสเปกตรัม	ความยาวคลื่น (nm)
ม่วง	400 - 420
น้ำเงิน	420 - 490
เขียว	490 - 580
เหลือง	580 - 590
ส้ม	590 - 650
แดง	650 - 700



รูปที่ 2.5 สเปกตรัมของแสงขาว

2.2 แสง (Light)^[3]

แสงเป็นพลังงานรูปหนึ่งเดินทางในรูปคลื่อนที่มีอัตราเร็วสูง แหล่งกำเนิดแสงที่สำคัญที่สุดของเราคือดวงอาทิตย์อย่างไรก็ตามเราสามารถผลิตแสงได้เอง เช่น หลอดไฟ ตะเกียง เทียนไข เป็นต้น แสงมีประโยชน์และเป็นสิ่งจำเป็นต่อสิ่งมีชีวิต

การมองเห็นวัตถุใดๆ ต้องมีแสงจากวัตถุมาเข้าตา ซึ่งแบ่งได้เป็น 2 กรณีคือ

- เมื่อวัตถุนั้นมีแสงสว่างในตัวเองจะมีแสงสว่างจากวัตถุเข้าตาโดยตรง
- วัตถุนั้นไม่มีแสงสว่างในตัวเองต้องมีแสงจากแหล่งกำเนิดแสงอื่นกระทบวัตถุนั้นแล้ว สะท้อนเข้าตา เมื่อแสงเคลื่อนที่ไปกระทบวัตถุต่างๆ วัตถุบางชนิดแสงผ่านไปได้แต่วัตถุบางชนิดแสงผ่านไปไม่ได้เราอาจแบ่งวัตถุตามปริมาณแสงและลักษณะที่แสงผ่านวัตถุได้ 3 ประเภท ดังนี้

2.1 วัตถุโปร่งใส หมายถึง วัตถุที่แสงผ่านได้หมดหรือเกือบหมดอย่างเป็นระเบียบ เราจึงสามารถมองผ่านวัตถุโปร่งใส และมองเห็นวัตถุที่อยู่อีกข้างหนึ่งได้อย่างชัดเจนวัตถุโปร่งใสมีหลายชนิด เช่น กระจก แก้วใส ฯลฯ และแผ่นพลาสติกใส เป็นต้น

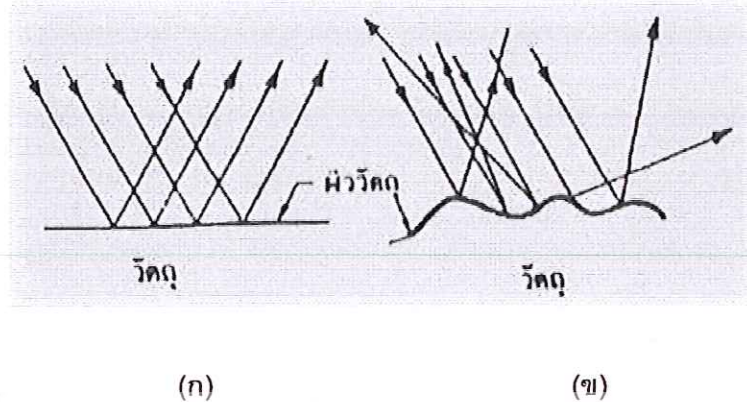
2.2 วัตถุโปร่งแสง หมายถึง วัตถุที่แสงผ่านได้อย่างไม่เป็นระเบียบ เมื่อเรามองผ่านวัตถุโปร่งแสง จึงเห็นวัตถุอีกด้านหนึ่งไม่ชัดเจน เช่น กระดาษซุบฟัน กระดาษฝ้า กระดาษไข หรือกระดาษลอกลาย และหมอก เป็นต้น

2.3 วัตถุที่บ่งชี้ หมายถึง วัตถุที่แสดงผ่านไปไม่ได้ เช่น ผ้า แผ่นไม้ แผ่นอะลูมิเนียม แผ่นสังกะสี กระดาษหนา เหล็ก และทองแดง เป็นต้น

ดังนั้นแสดง เป็นคลื่นแม่เหล็กไฟฟ้าสามารถเคลื่อนที่ได้โดยไม่ต้องอาศัยตัวกลางและมีการเคลื่อนที่แนวเส้นตรงในตัวกลางชนิดอื่นๆ จะเคลื่อนที่ผ่านตัวกลางแต่ละชนิดด้วยความเร็วไม่เท่ากันตัวกลางใดมีความหนาแน่นมากแสดงจะเคลื่อนที่ผ่านตัวกลางนั้นด้วยความเร็วน้อย ถ้าแสงเคลื่อนที่ผ่านไม่ได้ก็เป็นเพราะวัตถุมีการดูดกลืน สะท้อนแสง หรือการแทรกสอดของแสงคุณสมบัติของแสง^[4]

คุณสมบัติต่างๆ ของแสงแต่ละคุณสมบัตินี้เราสามารถนำหลักการมาใช้ประโยชน์ได้หลายอย่าง เช่น คุณสมบัติของการสะท้อนแสงของวัตถุเรานำมาใช้ในการออกแบบแผ่นสะท้อนแสงของคอมไฟการหักเหของแสงนำเสนอออกแบบแผ่นปิดหน้าคอมไฟ ซึ่งเป็นกระจกหรือพลาสติกเพื่อบังคับทิศทางของแสงไฟที่ออกจากคอมไปในทิศที่ต้องการการกระจายตัวของลำแสงเมื่อกระทบตัวกลางนำมาใช้ประโยชน์เช่นใช้แผ่นพลาสติกใสปิดดวงคอมเพื่อลดความจ้าจากหลอดไฟ ต่างๆ การดูดกลืนแสง นำมาทำเตาอบพลาสติก เครื่องต้มพลาสติกและเครื่องดูดควันแสงและการแทรกสอดของแสง นำมาใช้ประโยชน์ในกล้องถ่ายรูป เครื่องขยายภาพต่างๆ จะเห็นว่าคุณสมบัติแสงดังกล่าวก็ได้นำมาใช้ในชีวิตประจำวันของมนุษย์เราทั้งนั้น

การสะท้อนแสง (Reflection) หมายถึง การที่แสงไปกระทบกับตัวกลางแล้วสะท้อนไปในทิศทางอื่น หรือสะท้อนกลับมาทิศทางเดิมการสะท้อนของแสงนั้นขึ้นอยู่กับพื้นผิวของวัตถุด้วยว่าเรียบหรือหยาบโดยทั่วไปพื้นผิวที่เรียบและมันจะทำให้ nuances ของแสงที่กระทบมีค่าเท่ากับมุมสะท้อน ตำแหน่งที่แสงกระทบกับแสงสะท้อนบนพื้นผิวจะเป็นตำแหน่งเดียวกันดังรูป 2.6 (ก) ลักษณะของวัตถุดังกล่าว เช่น อลูมิเนียมขัดเงาเหล็กชุบโครเมียม ทอง เงิน และกระจกเงาเป็นต้น แต่ถ้าหากวัตถุมีผิวหยาบ แสงสะท้อนก็จะมีลักษณะกระจายกันดังรูป 2.6 (ข) เช่น ผนังจำบปูนกระดาษขาวโดยทั่วไปวัตถุส่วนใหญ่จะเป็นแบบผสมขึ้นอยู่กับผิวนี้มีความมันหรือหยาบมากกว่า

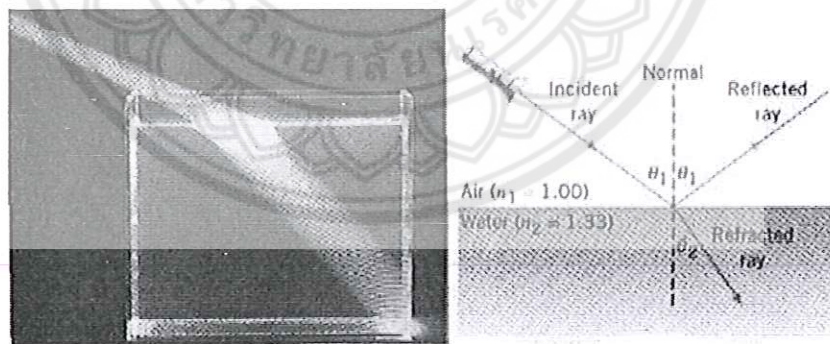


รูปที่ 2.6 (ก) การสะท้อนแสงบนวัตถุผิวเรียบ (ข) การสะท้อนแสงผิวขุขระ

กฎการสะท้อนแสง

1. รังสีตัดกับ界面 เส้นปกติและรังสีสะท้อนย่อมอยู่บนพื้นระนาบเดียวกัน
2. มุมในการตัดกับ界面ย่อมใหญ่เท่ากับมุมสะท้อน

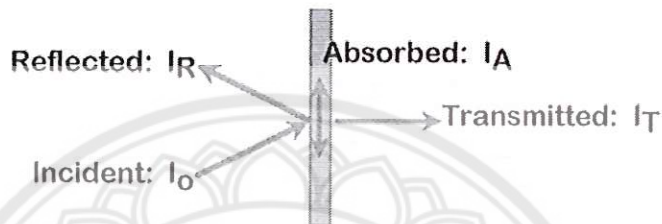
การหักเหของแสง (Refraction) หมายถึง การที่แสงเคลื่อนที่ผ่านตัวกลางหนึ่งไปยังอีกด้วยกลางหนึ่ง ทำให้แนวลำแสงเกิดการเบี่ยงเบนไปจากแนวเดิม เช่น แสงผ่านจากอากาศไปยังน้ำ ดังรูปที่ 2.7



รูปที่ 2.7 ลักษณะการเกิดหักเหของแสง

การทะลุผ่าน (Transmission) หมายถึง การที่แสงผ่านชั้นตัวกลางแล้วทะลุผ่านมันออกไปอีกด้านหนึ่งโดยที่ความถี่ไม่เปลี่ยนแปลงวัตถุที่มีคุณสมบัติการทะลุผ่านได้ เช่น กระจกผลึกคริสตัล พลาสติกใส น้ำ และของเหลวต่างๆ

การดูดกลืน (Absorption) หมายถึง การที่แสงถูกดูดกลืนหายเข้าไปในตัวกลางทั่วไปเมื่อมีพลังงานแสงถูกดูดกลืนหายเข้าไปในวัตถุใดๆ เช่น เตาอบพลังงานแสงอาทิตย์ เครื่องต้มน้ำพลังงานแสงและยังนำคุณสมบัติของการดูดกลืนแสงมาใช้ในชีวิตประจำวัน เช่น การเลือกสวมใส่เสื้อผ้าสีขาวจะดูดแสงน้อยกว่าสีดำจะเห็นได้ว่าเวลาใส่เสื้อผ้าสีดำอยู่กลางแดดจะทำให้ร้อนมากกว่าสีขาว



รูปที่ 2.8 ลักษณะของแสงเมื่อตกกระทบวัตถุ¹

¹<http://physics.science.cmu.ac.th/courses/210351/Large%205.pdf>

เมื่อแสงเมื่อตกกระทบวัตถุจะเป็นไปตามสมการดังต่อไปนี้⁽⁵⁾

$$I_0 = I_T + I_A + I_R \quad (2.1)$$

$$\frac{I_T}{I_0} + \frac{I_A}{I_0} + \frac{I_R}{I_0} = T + A + R = 1 \quad (2.2)$$

$$\text{สภาพการส่องผ่าน} \quad T = \frac{I_T}{I_0} \quad (2.3)$$

$$\text{สภาพการดูดกลืน} \quad A = \frac{I_A}{I_0} \quad (2.4)$$

$$\text{สภาพการสะท้อน} \quad R = \frac{I_R}{I_0} \quad (2.5)$$

เมื่อ I_0 คือ ค่าความเข้มแสงที่ตกกระทบ

I_T คือ ค่าการส่องผ่าน

I_A คือ ค่าการดูดกลืน

I_R คือ ค่าการสะท้อน

2.3 เลเซอร์ (Laser)^[6]

เลเซอร์ย่อมาจาก Light Amplification by Stimulated Emission of Radiation หมายถึง การขยายตัวสัญญาณแสงโดยการปล่อยแสงแบบเร่งเร้า ดังนั้นกลไกพื้นฐานของเลเซอร์จึงได้แก่ การปล่อยแสงแบบเร่งเร้า และการขยายสัญญาณแสง กลไกทั้งสองอย่างนี้เป็นสาเหตุที่ทำให้เลเซอร์ มีสมบัติพิเศษต่างๆ เช่น ลำแสงขนาดที่มีความเข้มสูง และมีคลื่นแสงที่เป็นระเบียบด้วยค่าความยาวคลื่นที่ตายตัว

2.3.1 สมบัติของแสงเลเซอร์

1. เป็นแสงสีเดียว (monochromaticity)

เป็นสมบัติสำคัญประการหนึ่งของเลเซอร์ ซึ่งหมายถึงแสงเลเซอร์มีความยาวคลื่นเพียงค่าเดียว แสงที่ปล่อยจากต้นกำเนิดแสงโดยทั่วไปที่เราพบเห็นได้ในชีวิตประจำวัน เช่น หลอดไฟ และดวงอาทิตย์จะเป็นสีขาว ถ้าให้แสงสีขาวนี้ผ่านปริซึมจะเห็นແบานสีต่างๆเรียงกันอย่างต่อเนื่องจากสีม่วงถึงสีแดง เรียกว่า แบบสเปกตรัมของแสงเลเซอร์ เช่น เลเซอร์ไฮเดียม-นีโอน เมื่อให้แสงสีแดงของเลเซอร์ไฮเดียม-นีโอนผ่านปริซึม จะไม่มีการแยกเป็นหลายเต็ងแต่ยังคงมีเพียง 1 เส้นที่มีความยาวคลื่น 632.8 นาโนเมตร

2. มีความพร้อมเพรียง (coherence)

หลอดไฟฟ้าที่ปล่อยแสงประกอบด้วยอะตอมที่เล็กจำนวนมาก โดยแต่ละอะตอมจะทำหน้าที่เป็นต้นกำเนิดแสง ดังนั้นแต่ละอะตอมก็ปล่อยแสงออกมาย่างอิสระซึ่งกันและกัน แสงที่ถูกปล่อยออกมายากหลอดไฟจึงมีเฟส และความยาวคลื่นต่างๆกัน ยิ่งกว่านั้นแต่ละคลื่นที่ถูกปล่อยออกมามีทิศทางไม่แน่นอน หรือเป็น random แสงจากแหล่งต้นกำเนิดแสงธรรมดาก็จะทำให้แสงสีเดียวทุกๆ คลื่นของแสงเลเซอร์จะมีเฟสเดียวกันหมด ดังนั้นแสงเลเซอร์จึงเรียกว่า แสงโคเอร์เจนซ์ (coherence light)

3. มีทิศทางที่แน่นอน (directionality)

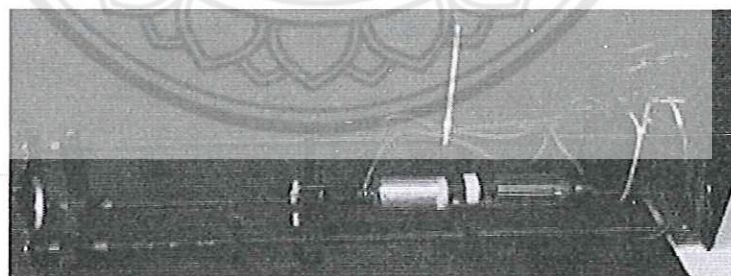
ลำแสงเลเซอร์จะขยานกันไปตลอดระยะเวลาทางไกลๆไม่มีการบานปลายออก ดังนั้นความเข้มของแสงเลเซอร์จะลดลงน้อยมากในระยะทางไกลๆ

4. มีความเข้ม (Intensity หรือ Brightness)

สูงมากแสงเลเซอร์มีลักษณะโดดเด่นไม่ใช้แหล่งกำเนิดแสงชนิดเดียวในเชิงความเข้มสูง และเมื่อจำแสงตากกระทบวัตถุ ก็เกิดความระยิบระยับของจำแสงขึ้น (Laser Speckle) โดยเฉพาะเมื่อวัตถุนั้นมีความหยาบหรือแม้แต่ในบรรยายกาศที่มีผุ่นละอองหรือควันซึ่งเป็นอนุภาคแขวนลอยอยู่อย่าง random ทั้งนี้เนื่องจากแสงเลเซอร์เกิดการสะท้อนแบบไม่มีทิศทางกับอนุภาค หรือผิวของวัตถุ และเกิดการแทรกสอดของจำแสง ทำให้เกิดความระยิบระยับขึ้นซึ่งเป็นมิติของการมองเห็นโดยใช้ Laser displays แสงเลเซอร์กำลังต่ำ เช่น เลเซอร์ไฮเดรียม-ไนโตรน ขนาด 1 mW ก็มีความเข้มสูงกว่า แสงพระอาทิตย์ ขณะนี้ถ้าจ่ายเข้าตามนุชย์โดยตรงแล้ว จะเป็นอันตรายต่อผิวหน้าถึงตาดูดได้

2.3.2. ชนิดของแสงเลเซอร์

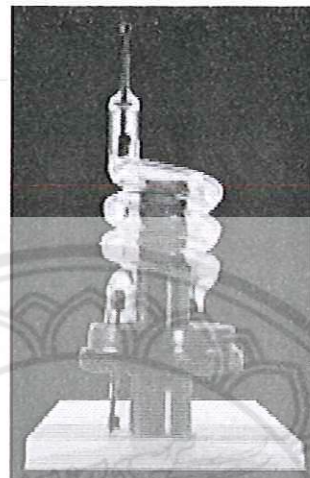
1. เลเซอร์ก๊าซ (Gas Laser) ประกอบด้วยก๊าซไฮเดรียม (He) และไนโตรน (Ne) ในอัตรา ส่วนประมาณ 10:1 แหล่งกำเนิดพลังงานที่ กระตุ้นให้เกิดประชารณ์ผกผัน (มักเรียกอีกชื่อว่า pumping source) ที่ใช้จะเป็น electrical discharge คือทำให้มีอิเล็กตรอนวิ่งผ่านและชนกับก๊าซที่บรรจุอยู่ในหลอดเลเซอร์แสงเลเซอร์ที่ได้จะเป็นสีแดง ที่มีความยาวคลื่น 632.8 นาโนเมตร หรือ (632.8×10^{-9} เมตร) และมีกำลังประมาณ 0.5 – 50 มิลลิวัตต์ ผู้สร้างสามารถเลือกการเปลี่ยนชั้นพลังงานของอะตอมให้เกิดเป็นเลเซอร์สีเขียว และอินฟราเรด ได้แต่ไม่นิยม เพราะแสงดังกล่าวเกิดยากกว่า และต้องใช้ต้นทุนสูง ดังรูปที่ 2.9



รูปที่ 2.9 He-Ne Laser ก๊าซบรรจุอยู่ในหลอดแก้ว

2. เลเซอร์ชนิดของแข็ง (Solid State Laser) มีลักษณะที่สำคัญคือ ตัวกลางเลเซอร์ที่ใช้จะเป็นแท่งผลึกของอนุวัติที่ทำหน้าที่เป็น host และมีการ ชาบ (dope) โครงเมี่ยม (เป็น impurity) เข้าไป ทำ

ให้บางครั้งนิยมเรียกว่า doped insulator laser และมีตัวอย่างเลเซอร์ หลัก ๆ 2 ชนิดที่ใช้เทคนิคนี้คือ เลเซอร์ทับทิม และ Nd:YAG เลเซอร์ ดังรูปที่ 2.10



รูปที่ 2.10 เลเซอร์ทับทิมเครื่องแรก

3. เลเซอร์ของเหลว (Dye Laser) ใช้ตัวกลางเลเซอร์ที่ทำจากของเหลวได้ เช่น ใช้สียอมผ้า (Dye) ผสมน้ำ รื้อออกอย่าง บรรจุใส่ภาชนะใด การบีบพลังงานแก่ของเหลวเหล่านี้ ให้วิธีทางแสง เช่นเดียวกับตัวกลางเลเซอร์ที่เป็นของแข็ง เช่น ให้หลอดซีน่อน หรือเคเซอร์ในต่อเรจน เลเซอร์ของเหลวเหล่านี้จะมีจุดเด่นที่สำคัญคือ เป็นเลเซอร์ที่ให้สีที่ตามองเห็น ค่าความยาวคลื่นของแสง สามารถปรับได้ จึงเป็น ทูนเนบิล เลเซอร์ (Tunable Laser) เพราะไม่เกิดข้อสียอมผ้ามีขนาดโต เนื่องจากเป็นสารอินทรีย์เคมี ระดับพลังงานของโนมเลกุลมีลักษณะเป็นชั้นพลังงานที่ห้องน้ำอยู่ชั้น มีได้เป็นชั้นเดียวๆ เมื่อกำหนดค่าความยาวคลื่น จึงเป็นการที่ง่ายกว่า

4. เลเซอร์ไดโอด (emiconductor Laser) มีเนี่ยมอาร์เชไนต์) In GaAsP (อินเดียม แกลลเดียมอาร์เชไนต์ฟอสฟายด์) ซึ่งมีค่าแบบพลังงานต่างๆ กัน จึงเป็นตัวกำหนดค่าความยาวคลื่น ของแสงเลเซอร์เลเซอร์ไดโอดแต่ละชนิด จึงมีการใช้งานที่แตกต่างกันตามลักษณะ และคุณสมบัติ ของค่าความยาวคลื่นนั้นๆ เช่น เลเซอร์ไดโอดที่ให้สีแดง จะใช้ในเครื่องคอมแพคติสก์ เป็นต้น เลเซอร์ไดโอดเป็นเลเซอร์ที่มีขนาดเล็กจิ๋ว กินไฟน้อย สามารถผลิตได้จำนวนมาก ด้วย เทคโนโลยี ด้านสารกึ่งตัวนำเลเซอร์ไดโอด ถูกใช้งานอย่างกว้างขวาง ตั้งแต่การใช้เป็นเลเซอร์ พอยนท์เตอร์ (Laser Pointer) ใช้ในการสื่อสารผ่านเส้นใยแก้วนำแสง ใช้เป็นหัวอ่านของเครื่องคอมแพคติสก์

เครื่องวัดโอลเซอร์ดิสก์ และเครื่องถ่ายเอกสารประภาพเลเซอร์ พรินเตอร์ (Laser Printer) คณะวิศวกรรมศาสตร์ จุฬาลงกรณ์มหาวิทยาลัย ได้ศึกษาวิจัยการสร้างเลเซอร์ได้โดย ด้วยเทคโนโลยี ด้านการปัลส์เจลิกจากของเหลว (Liquid Phase Epitaxy : LPE) และเทคโนโลยีการปัลส์เจลิกด้วย ลำไนเล็กูล (Molecular Beam Epitaxy : MBE) เลเซอร์ได้โดยมีกำลังแสงต่ำตั้งแต่ระดับ ไมโคร วัตต์ จนสูงถึงวัตต์ (W) และเป็นเลเซอร์ที่มีจุดเด่นคือ สามารถโนดูแลตสัญญาณได้โดยตรง โดยผ่าน เข้าไปทางด้านกระแทไฟฟ้า ที่นี่ดีกว่าตัวสิ่งประดิษฐ์ จึงสะดวกต่อการใช้งาน โดยเฉพาะการสื่อสาร ทางด้านแสง ดังรูปที่ 2.11



รูปที่ 2.11 laser pointer ซึ่งเป็นเลเซอร์สารกึ่งตัวนำ²

²https://www.google.co.th/search?q=laser+pointer&espv=2&source=lnms&tbo=isch&safesearch=X&ved=0ahUKEwjm7drBjbTPAhUJro8KHcTDB8MQ_AUICCgB&biw=1366&bih=613#imgrc=LYx0O6Eu1LQtLM%3A

2.4 เครื่อง vacuum coating^[8]

การเคลือบผิววัสดุมีวัตถุประสงค์เพื่อเปลี่ยนแปลงและปรับปรุงสมบัติของวัสดุให้เป็นไป ตามที่ต้องการ ทั้งนี้การปรับปรุงคุณภาพผิววัสดุวิธีหนึ่ง คือ การเคลือบด้วยสารที่มีลักษณะเป็นชั้น เคลือบบางๆ ที่เรียกว่า "พิล์มบาง(thin film)" บนผิววัสดุ ตั้งแต่อดีตจนถึงปัจจุบันการเคลือบ ผิวชั้นงานส่วนใหญ่จะนิยมใช้วิธีทางเคมี เช่น การเคลือบด้วยไฟฟ้า (electroplating) แต่การ เคลือบวิธีนี้มีข้อเสียคือคุณภาพของผิวเคลือบต่ำ อีกทั้งยังมีปัญหาด้านสิ่งแวดล้อม จึงมีการวิจัย และพัฒนาเทคนิคการเคลือบใหม่ทดแทน ได้แก่ "การเคลือบในสูญญากาศ (vacuum

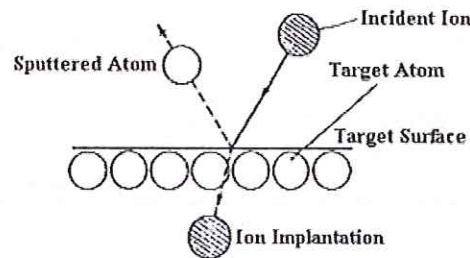
"coating)" เนื่องจากการเคลือบนี้เกิดขึ้นเฉพาะในสัญญาากาศและไม่ใช้สารเคมีที่จะทำให้เกิดปฏิกิริยาสิ่งแวดล้อมในกระบวนการเคลือบ ดังรูปที่ 2.12



รูปที่ 2.12 เครื่อง vacuum coating

2.5 ทฤษฎีเบื้องต้นของการสปัตเตอริง (Sputtering)^[9]

สปัตเตอริง (Sputtering) เป็นกระบวนการที่ทำให้อะตอมหรือกลุ่มของอะตอมบริเวณผิวน้ำของวัสดุของแข็งหลุดออกมาน้ำด้วยการชนของอนุภาคที่มีพลังงานสูงรูปที่ 2.11 อนุภาคที่ใช้เป็นตัวชนนี้อาจเป็นกลางทางไฟฟ้าหรือมีประจุก็ได้ แต่เนื่องจากในการทำอนุภาคที่เป็นกลางทางไฟฟ้าให้มีพลังงานสูงเพื่อใช้ในกระบวนการสปัตเตอริงทำได้ค่อนข้างยาก จึงนิยมใช้วิธีเร่งอนุภาคที่มีประจุภายใต้สนามไฟฟ้าซึ่งสามารถควบคุมระดับพลังงานของไอออนได้ตามต้องการ อนุภาคพลังสูงนี้จะถูกผลิตขึ้นอย่างต่อเนื่องเพื่อให้กระบวนการเคลือบสารเกิดขึ้นได้ต่อเนื่องจนได้ความหนาฟิล์มสารเคลือบตามต้องการซึ่งสามารถทำได้หลายวิธี เช่น โดยการใช้อนุภาคลำแสงจากปืนไอออน (ion gun) ที่มีปริมาณการผลิตไอออนในอัตราสูง หรือผลิตได้จากการใช้กระบวนการไกคลาดิสชาร์จ (glow discharge) ซึ่งนำไปใช้ในการกระบวนการเคลือบฟิล์มด้วยวิธีดีซีแมกнетرونสปัตเตอร์ริง (DC Megnetron Sputtering) ดังรูปที่ 2.12



รูปที่ 2.13 การเกิดสปัตเตอริงที่ผิวเป้า

2.6 เทคนิค ดีซี แมกนีตرونสปัตเตอริง (DC Magnetron Sputtering)^[10]

การกำเนิดพลาสม่าในวิธีดีซีสปัตเตอริงเกิดจากการใช้สนามไฟฟ้าเร่งอิเล็กตรอนให้เข้าชนอะตอมของก๊าซที่ใช้ในการสปัตเตอริงให้เกิดการแตกตัวเป็นไออ่อนบวกและอิเล็กตรอนโดยไออ่อนบวกจะถูกเร่งด้วยสนามไฟฟ้าให้เคลื่อนที่เข้าชนอะตอมที่ผิวเป้าให้หลุดออกมานะและมีการปลดปล่อยอิเล็กตรอนทุติยภูมิออกมายหลังจากการชนของไออ่อนบวกที่ผิวเป้าดังนั้นถ้าสามารถกักเก็บอิเล็กตรอนไว้ที่หน้าผิวเป้าและเพิ่มระยะทางการเคลื่อนที่ของอิเล็กตรอนให้เพิ่มขึ้นก็จะเป็นการเพิ่มโอกาสในการชนกับอะตอมของก๊าซที่ใช้ในการสปัตเตอริงให้เกิดการแตกตัวเป็นไออ่อนบวกมากขึ้นและถูกเร่งด้วยสนามไฟฟ้าให้เคลื่อนที่เข้าชนเป้ามากขึ้นผลคือทำให้อัตราการสปัตเตอริงสูงขึ้น ทั้งนี้การกักเก็บอิเล็กตรอนและการเพิ่มระยะ บททางการเคลื่อนที่ของอิเล็กตรอนให้เพิ่มขึ้นนั้นสามารถทำได้โดยการป้อนสนามแม่เหล็กในทิศทางที่เหมาะสมให้กับระบบดีซีสปัตเตอริง เมื่อนุภาคที่มีประจุไฟฟ้า q เคลื่อนที่ด้วยความเร็ว v_{\perp} ในทิศทางตั้งฉากกับสนามไฟฟ้า B จะเกิดแรงกระทำกับอนุภาคนั้นซึ่งมีค่า

$$F = Bqv_{\perp} \quad (2.6)$$

โดยแรงที่กระทำกับอนุภาคมีทิศทางตั้งฉากกับสนามแม่เหล็กและความเร็วของการเคลื่อนที่ซึ่งจะมีผลทำให้ประจุไฟฟ้าที่มีมวล m เกิดการเคลื่อนที่เป็นวงกลมโดยที่

$$F_B = F_C \quad (2.7)$$

โดย F_B คือ แรงเนื่องจากสนามแม่เหล็ก

F_C คือ แรงสูญญากาศของการเคลื่อนที่

จะได้

$$qv_{\perp}B = \frac{mv_{\perp}^2}{r} \quad (2.8)$$

จะได้รัศมีของการเคลื่อนที่

$$r = mv_{\perp}/Bq \quad (2.9)$$

โดยเรียกรัศมีของประจุไฟฟ้าที่มีการเคลื่อนที่เป็นวงกลมว่ารัศมีไซโคลotron (cyclotron radius) หรือรัศมีลาร์มอร์ (larmor radius) โดยอิเล็กตรอนจะได้รับผลกระทบจากแรงเนื่องจากสนามแม่เหล็กนี้ แต่สำหรับไอออนซึ่งมีมวลมากจะได้รับผลกระทบของแรงเนื่องจากสนามแม่เหล็กนี้น้อย

จาก $v = \omega r$ จะได้ความเร็วเชิงมุมของการเคลื่อนที่ของอนุภาคเป็น

$$\omega = \frac{|q|B}{m} \quad (2.10)$$

และเมื่อพิจารณาอิเล็กตรอนที่หักดอออกมายจากขั้วคาโทดแล้วเคลื่อนที่ภายใต้อิทธิพลของสนามไฟฟ้าและสนามแม่เหล็กตามขวางที่มีทิศทางตั้งฉากกัน จากสมการของลอเรนซ์

$$m \frac{d\vec{v}}{dt} = e(\vec{E} + \vec{v} \times \vec{B}) \quad (2.11)$$

โดย e = ประจุของอิเล็กตรอน

m = มวลของอิเล็กตรอน

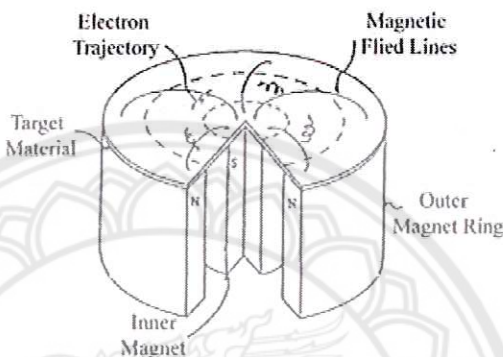
\vec{v} = ความเร็วของอิเล็กตรอน

\vec{E} = สนามไฟฟ้า

\vec{B} = สนามแม่เหล็ก

ด้วยอิทธิพลของสนามไฟฟ้าและสนามแม่เหล็กตามขวางที่มีทิศทางตั้งฉากกันจะทำให้อิเล็กตรอนถูกกักเก็บไว้ที่บริเวณผิวน้ำเปื้าและมีการเคลื่อนที่เป็นรูปเกลียววงกลมด้วยความเร็วเชิงมุม $\gamma = eB/m$ ไปในเส้นทางเลื่อนลอยของสนามไฟฟ้าและสนามแม่เหล็กตามขวางที่มีทิศทางตั้งฉากกัน ($\vec{E} \times \vec{B}$ drift path) ที่เกิดขึ้นและคุดศูนย์กลางของการเคลื่อนที่เป็นวงกลมแบบเลื่อนลอยในทิศทางของสนามไฟฟ้าและสนามแม่เหล็กตามขวางที่นี้ทิศทางตั้งฉากกันด้วยความเร็ว E/B ดังรูป 2.12 การเคลื่อนที่ของอิเล็กตรอนแบบนี้จะเพิ่มโอกาสในการชนกันระหว่างอิเล็กตรอนกับโมเลกุลของ

ก้าวและเกิดกระบวนการแตกตัวเป็นไอออน化สูงขึ้นบริเวณผิวน้ำ และไอออน化ที่เกิดขึ้นจะถูกเร่งให้เคลื่อนที่ชันเป็นมากขึ้น ซึ่งจะเป็นผลทำให้อัตราการสปีดเตอริงมีค่าสูงขึ้นส่งผลให้วิธีดังกล่าวครอบคลุมสปีดเตอริงเป็นวิธีที่ใช้ในการเคลื่อนฟิล์มบางกันอย่างแพร่หลายในงานวิจัยและในงานอุตสาหกรรม ดังรูปที่ 2.14



รูปที่ 2.14 การเคลื่อนที่เป็นวงกลมของอิเล็กตรอนที่ถูกกักเก็บไว้ที่ผิดเป้าในเส้นทางเดือนลอดของสนามไฟฟ้าและสนามแม่เหล็กตามขวางที่มีทิศทางตั้งฉากกัน

และการเร็ว ที่เกิดขึ้นโดยการเร่งจากสนามไฟฟ้าที่สม่ำเสมอที่เกิดจากการจ่ายความต่างศักย์ให้กับข้ออิเล็กโทรด จะได้ว่า

$$\frac{1}{2}mv^2 = |q|V \quad (2.12)$$

จะได้

$$v = \sqrt{\frac{2|q|V}{m}} \quad (2.13)$$

แทนค่า (2.13) ลงใน (2.9) จะได้

$$r = \frac{1}{B} \sqrt{\frac{2mV}{|q|}} \quad (2.14)$$

โดยจะได้รัศมีของอนุภาคที่เคลื่อนที่ภายใต้อิทธิพลของแรงดูดเรนซ์ ในกรณีของอิเล็กตรอนจะได้

$$r = 0.33 \times 10^{-5} \frac{\sqrt{V}}{B} \quad (2.15)$$

และสามารถวิเคราะห์ผลของสนามแม่เหล็กที่มีต่อการดิสชาร์จซึ่งพิจารณาได้จากสนามแม่เหล็กที่ต่ำแห่งยุติผล(cut-off magnetic field; B_c) โดยสนามแม่เหล็กจะมีผลต่อการดิสชาร์จนิ่องความเข้มของสนามแม่เหล็กมีค่ามากกว่าสนามแม่เหล็กที่ต่ำแห่งยุติผล ซึ่งแสดงได้ดังสมการต่อไป

$$B_c = \frac{1}{L} \sqrt{\frac{2mV_c}{e}} \quad (2.16)$$

โดย V_c คือ ความต่างศักย์ที่จ่ายข้าวอิเล็กโตรด

L คือ ระยะห่างระหว่างข้าวอิเล็กโตรด

2.7 เงิน (silver)^[11]

เงินเป็นโลหะทرانซิชันสีขาวเงิน มีสมบัติการนำความร้อนและไฟฟ้าได้มากในธรรมชาติอาจรวมอยู่ในแร่อื่นๆ หรืออยู่อิสระเงินใช้ประโยชน์ในการทำเครื่องยนต์ เครื่องประดับ ภาชนะบนโต๊ะอาหาร และอุตสาหกรรมการถ่ายรูป ดังรูปที่ 2.15 การนำไปใช้

1. เงินตรา
2. อัญมณีและเครื่องเงิน โดยโลหะเงินสามารถใช้ร่วมกับโลหะชนิดอื่น เพื่อประกอบเป็นเครื่องประดับอันสวยงาม เช่น ทองคำ ทองแดง เหล็ก ทองเหลือง นอกจากนี้ เครื่องเงินยังมีประโยชน์มากในด้านใช้สอย เช่น ช้อน ช้อม มีด เป็นต้น
3. การทำฟัน โดยใช้เงินผสมกับดีบุก และโลหะอื่นๆ เพื่อให้ได้ amalgams ที่ใช้สำหรับอุดฟัน การผสมผงของโลหะเงินเข้ากับโลหะอื่นนั้น จะช่วยให้ amalgams สามารถปรับตัวรับเข้ากับรูของฟันที่ต้องการอุดได้เป็นอย่างดี อีกทั้งยังจับตัวแข็งภายในเวลาไม่เกินที่
4. การถ่ายภาพและอุปกรณ์อิเล็กทรอนิกส์ การถ่ายภาพจะใช้เงินในรูปแบบของไอลด์ในเตรต และ สีเงิน อีกทั้งผลิตภัณฑ์ไฟฟ้าบางชนิดก็มีโลหะเงินเป็นส่วนประกอบสำคัญ เช่นสายเคเบิล สายลำโพง นาฬิกา กีบังใช้แบตเตอรี่ชิลเวอร์ออกไซด์ เนื่องจากมีอายุการใช้งานที่ยาวนาน เป็นต้น

5. เลนส์และกระจก กระจกที่ต้องการการสะท้อนเนื่องจากว่าธรรมชาติ สร้างในญี่ปุ่นจากเงิน ในขณะที่กระจกทั่วไปสร้างในญี่ปุ่นจากอะลูมิเนียม
6. ใช้ในอุตสาหกรรมและการพาณิชย์ โลหะเงินใช้สำหรับสร้างสิ่งที่มีคุณภาพสูง เครื่องดูดตีประเกทเป้าลมต่าง ๆ และเงินที่ใช้ในการทำอลลอยด์บัดกรีและประสาณ
7. ด้านการแพทย์ เป็นส่วนประกอบของอุปกรณ์การแพทย์ต่าง ๆ อาจถูกใช้เพื่อรักษาโรคติดเชื้อภายนอก เงินยังใช้ในการใช้งานทางการแพทย์บางอย่าง เช่น สายสวนปัสสาวะ และท่อช่วยหายใจ เป็นต้น
8. เพื่อผ้า เงินสามารถยับยั้งการเจริญเติบโตของเชื้อแบคทีเรียและเชื้อราบนเสื้อผ้า เช่น ถุงเท้า เสื้อกีฬา เพื่อลดกลิ่นขันไม่พึงประสงค์และความเสี่ยงของการติดเชื้อแบคทีเรียและเชื้อรา ที่รวมอยู่ในเสื้อผ้าหรือรองเท้า โดยใช้อุปกรณ์ชิลเดอร์นาโนในพอลิเมอร์จากเส้นด้ายเคลือบด้วยเงิน



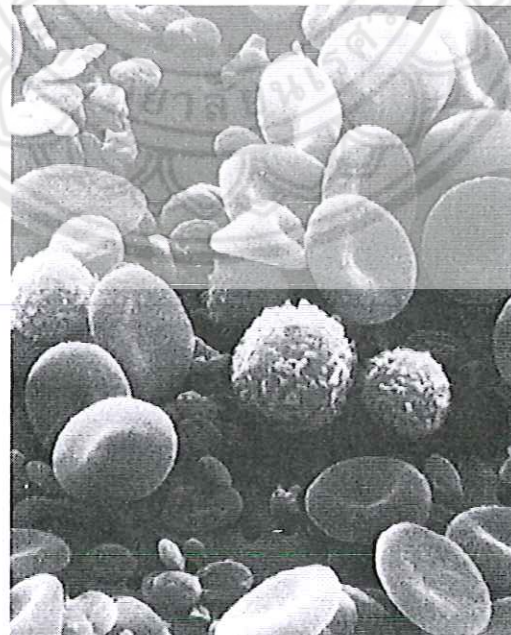
รูปที่ 2.15 金

2.8 กล้องจุลทรรศน์อิเล็กตรอนแบบส่องกราด (Scanning electron microscope: SEM)^[12]

เป็นกล้องจุลทรรศน์ที่ใช้ศึกษาพื้นผิวของตัวอย่าง โดยลำอิเล็กตรอนจะส่องกราดไปบนพื้นผิวของวัตถุทำให้ได้ภาพซึ่งมี ลักษณะเป็นภาพ 3 มิติ กำลังขยาย 20-800,000 เท่ามีเครื่องวิเคราะห์ธาตุเชิงพลังงาน (Energy dispersive x-ray spectrometer: EDS) สามารถศึกษา ชนิด ปริมาณ และการกระจายขององค์ประกอบธาตุของวัสดุหรือสารมลพินบนพื้นผิว ของวัสดุที่นำมาศึกษาได้ เครื่องนี้สามารถวิเคราะห์ธาตุได้ตั้งแต่ boron (B) ถึง uranium (U) โดยการวิเคราะห์สามารถแสดงผลเป็นชนิดและปริมาณของธาตุรวมถึงสามารถทำ map และ line scan (เฉพาะที่ติดตั้งกับ

SEM เท่านั้น) ได้อีกด้วยซึ่งข้อมูลที่ได้สามารถนำไปใช้ในการปรับปรุงและพัฒนางานวิจัยงานในกระบวนการผลิตงานวิเคราะห์ความเสี่ยหายของวัสดุงานแก้วไปปูนหาดุสานกรรมและงานควบคุมคุณภาพของวัสดุได้เป็นอย่างดี

หลักการทำงานของเครื่อง SEM^[13] จะประกอบด้วยแหล่งกำเนิดอิเล็กตรอนซึ่งทำหน้าที่ผลิตอิเล็กตรอนเพื่อบอกนให้กับระบบ โดยกลุ่มอิเล็กตรอนที่ได้จากแหล่งกำเนิดจะถูกเร่งด้วยสนามไฟฟ้าจากนั้นกลุ่มอิเล็กตรอนจะผ่านเลนส์รวมรังสี (condenser lens) เพื่อทำให้กลุ่มอิเล็กตรอนกล้ายเป็นลำอิเล็กตรอน ซึ่งสามารถปรับให้ขนาดของลำอิเล็กตรอนใหญ่หรือเล็กได้ตามต้องการ หากต้องการภาพที่มีความคมชัดจะปรับให้ลำอิเล็กตรอนมีขนาดเล็ก หลังจากนั้นลำอิเล็กตรอนจะถูกปรับระยะโฟกัสโดยเลนส์ใกล้ลักษณะ (objective lens) ลงไปบนผิวชิ้นงานที่ต้องการศึกษา หลังจากลำอิเล็กตรอนถูกกราดลงบนชิ้นงานจะทำให้เกิดอิเล็กตรอนทุติยภูมิ (secondary electron) ขึ้นซึ่งสัญญาณจากอิเล็กตรอนทุติยภูมินี้จะถูกบันทึก และแปลงไปเป็นสัญญาณทางอิเล็กทรอนิกส์และถูกนำไปสร้างเป็นภาพบนจอโทรทัศน์ต่อไปและสามารถบันทึกภาพจากหน้าจอโทรทัศน์ได้โดย ดังรูปที่ 2.16 และ 2.17



รูปที่ 2.16 พื้นผิวที่ได้จากการวิเคราะห์ด้วยเครื่อง SEM

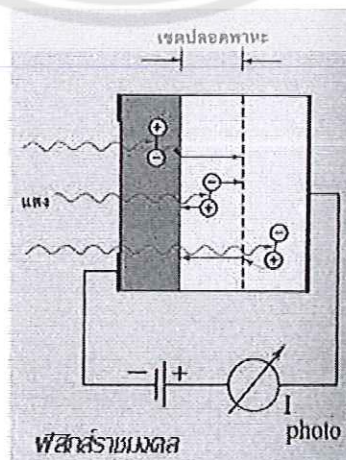
ข้อดีของเครื่อง SEM เมื่อเปรียบเทียบกับเครื่อง TEM คือ ภาพโครงสร้างที่เห็นจากเครื่อง SEM จะเป็นภาพลักษณะ 3 มิติ ในขณะที่ภาพจากเครื่อง TEM จะให้ภาพลักษณะ 2 มิติ อีกทั้งวิธีการใช้งานเครื่อง SEM จะมีความรวดเร็วและใช้งานง่ายกว่าเครื่อง TEM มาก



รูปที่ 2.17 กล้องจุลทรรศน์อิเล็กตรอนแบบส่องการดู

2.9 หัววัดแสงไฟโตไดโอด^[14]

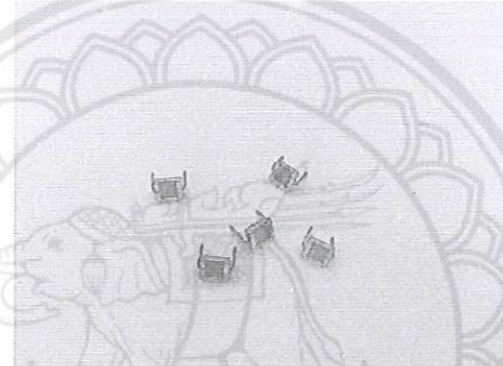
1.ไฟโตไดโอด คือ ตัวสิงประดิษฐ์รับแสงที่ทำจากสารกึ่งตัวนำ จะเปลี่ยนสัญญาณแสงให้เป็นสัญญาณไฟฟ้า เมื่อแสงตกกระทบอิเล็กตรอนที่ยึดอยู่กับอะตอมในข่ายผลึกจะแตกหลุด เกิดเป็นอิเล็กตรอนอิสระ และออกอิสระขึ้น อิเล็กตรอนและออกเหล่านี้จะเคลื่อนที่เข้าไปในเขตปลอดพานะเกิดเป็นกระแสไฟฟ้าย้อนด้วยปริมาณที่เปลี่ยนตามความเข้มแสง เรียกว่า กระแสไฟโต ดังรูปที่ 2.18 และ 2.19



รูปที่ 2.18 วงจรไฟโตไดโอด

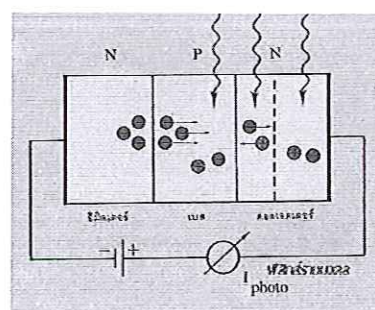
ไฟโตไดโอดใช้ประโยชน์ในงาน

- วัดความเข้มแสง
- ชัตเตอร์แสง
- กำหนดตำแหน่งของเครื่องมือกล
- การวัดระยะทางใกล้ด้วยแสงอินฟราเรด
- ตรวจจับสัญญาณแสงที่ความถี่สูง



รูปที่ 2.19 ไฟโตไดโอด

2. ไฟทรานซิสเตอร์ คือ ไฟโตไดโอดที่มีการขยายสัญญาณ โดยใช้หัวต่อ PN ที่ประกอบด้วยส่วนที่เป็นเบส และคอลเลกเตอร์เป็นที่รับแสงกระแทกไฟโตที่เกิดขึ้นจะหลีกเอาจิตเตอร์เนื่องด้วยปรากฏการณ์ทรานซิสเตอร์ กระแสอีมิตเตอร์จะมีขนาดเป็นประมาณ 500 เท่าของกระแสไฟโตที่เกิดขึ้นในตอนแรกเมื่อยกแสง ดังรูปที่ 2.20



รูปที่ 2.20 วงจรไฟทรานซิสเตอร์

ไฟโตทรานซิสเตอร์ใช้ประโยชน์ในงาน

- เครื่องควบคุมแสง
- ตรวจสอบแผ่นการ์ดหรือเทปเจาะรู
- ตัวเชื่อมแสงกับวงจรอิเล็กทรอนิกส์

2.10 เครื่องวัดมัลติมิเตอร์ (Multimeters)^[15]

มัลติมิเตอร์ (Multimeters) คือ เครื่องมือวัดทางไฟฟ้าที่สามารถวัดปริมาณไฟฟ้าได้หลายปริมาณ แต่ วัดได้ที่ละปริมาณ โดยสามารถตั้งเป็นโวลต์มิเตอร์ แอมป์มิเตอร์ หรือ โอมมิเตอร์และเลือกไฟฟ้ากระแสเดียว (DC) หรือไฟฟ้ากระแสสลับ (AC) ได้มัลติมิเตอร์บางชนิดมีคุณสมบัติการวัดเพิ่มเติม เช่น วัดค่าความชื้น ความถี่ และทดสอบทรานзิสเตอร์ เป็นต้น

การแสดงผลของมัลติมิเตอร์แบ่งออกเป็น 2 แบบ คือ มัลติมิเตอร์แบบเข็ม (Analog Multimeters) กับ มัลติมิเตอร์แบบดิจิตอล (Digital Multimeters) เพื่อให้เหมาะสมกับการทดลองเรื่องนี้ ซึ่งมัลติมิเตอร์ แต่ละเครื่องจะมีรายละเอียดปลีกย่อยและข้อควรระวังในการใช้งานแตกต่างกัน

1. มัลติมิเตอร์แบบเข็ม (Analog Multimeters)^[16] เป็นเครื่องมือวัดปริมาณทางไฟฟ้าหลายประเภทรวมอยู่ในเครื่องเดียวกัน โดยทั่วไปแล้วมัลติมิเตอร์จะสามารถใช้วัดปริมาณต่อไปนี้

การวัดความต่างศักย์ไฟฟ้ากระแสเดียว

ปรับมัลติมิเตอร์ให้เป็นโวลต์มิเตอร์ก่อน โดยหมุนสวิทช์บนตัวมิเตอร์ไปที่ตำแหน่งช่วงการวัดความต่างศักย์ไฟฟ้ากระแสเดียว (DCV) ซึ่งมี 7 ช่วงการวัดคือ 0-0.1V, 0-0.5V, 0.2.5V, 0-10V, 0-50V, 0-250V, 0-1000V

การวัดความต่างศักย์ไฟฟ้ากระแสสลับ

ปรับมัลติมิเตอร์ให้เป็นโวลต์มิเตอร์กระแสสลับ โดยหมุนสวิทช์บนตัวมิเตอร์ไปที่ตำแหน่งช่วงการวัดความต่างศักย์ไฟฟ้ากระแสสลับ (ACV) ซึ่งมี 4 ช่วงการวัดคือ 0-10V, 0-50V, 0-250V, 0-1000V จากนั้นเลือกช่วงการวัดให้เหมาะสม สำหรับการวัดความต่างศักย์ไฟฟ้ากระแสสลับ เรา สามารถต่อโดยให้สายวัดเส้นโดยผูกด้วยกันได้แล้ววัดค่า yang ใช้หลักการเดียวกันกับโวลต์มิเตอร์กระแสเดียว

การวัดกระแสไฟฟ้ากระแสตรง

ปรับมัลติมิเตอร์ให้เป็นโหมดมิเตอร์ก่อน โดยหมุนสวิตช์บนตัวมิเตอร์ไปที่ด้านหนึ่งซึ่งการวัดกระแสไฟฟ้ากระแสตรง (DCA) ที่มี 4 ช่วงการวัดคือ 0-50 μ A, 0-2.5mA, 0-25mA, 0-0.25A ดังรูปที่ 2.21



Analog Multimeter

Analog Multimeter
รูปที่ 2.21 มัลติมิเตอร์แบบเก็บ

Digital Multimeter

รูปที่ 2.21 มัลติมิเตอร์แบบเก็บ

2. มัลติมิเตอร์แบบตัวเลข (Digital Multimeters)^[17] เป็นมัลติมิเตอร์อิเล็กทรอนิกส์แบบหนึ่ง ซึ่งแสดงผลเป็นตัวเลข ดังนั้นจึงง่ายต่อการนำไปใช้ แต่ถ้าทำการวัดหรือต่อผิดก็อาจทำให้เครื่องชำรุดหรือเสียหายง่ายกว่ามัลติมิเตอร์แบบเข็มดังนั้นการนำ Digital multimeter มาใช้งานจึงต้องมีความระมัดระวังสูงขึ้น การนำมัลติมิเตอร์ไปวัดค่าความต่างศักย์ และกระแสไฟฟ้าใช้หลักการวัดเดียวกันกับมัลติมิเตอร์แบบเข็ม SUNWA หรือหลักการใช้แอมมิเตอร์และโกล์ฟมิเตอร์ ดังรูปที่ 2.22

รูปที่ 2.22 มัลติมิเตอร์แบบตัวเลข³

³<https://www.google.co.th/search?q=%E0%B8%E0%lnms&tbs=isch&sa=X&ved=0ahUKEwjv6JKNm4fQ=1366&bih=662#imgrc=FjEnol8wr2EQwM%3A>

1029679



QC
176
N.S92
01149
2560

- 3 ก.พ. 2563

ส่วนประกอบที่สำคัญของมัลติมิเตอร์แบบตัวเลข

1. จอแสดงผล (display)
2. สวิตช์เปิด-ปิด (ON-OFF)
3. สวิตช์เลือกปริมาณที่จะวัดและช่วงการวัด (range selector switch) สามารถเลือกการวัดได้ 8 อย่าง ดังนี้

1. DCV สำหรับการวัดความต่างศักย์ไฟฟ้ากระแสตรง มี 5 ช่วงการวัด
 2. ACV สำหรับการวัดความต่างศักย์ไฟฟ้ากระแสสลับ มี 5 ช่วงการวัด
 3. DCA สำหรับการวัดปริมาณกระแสตรง มี 3 ช่วงการวัด
 4. ACA สำหรับการวัดปริมาณกระแสสลับ มี 2 ช่วงการวัด
 5. Ω สำหรับการวัดความต้านทาน มี 6 ช่วงการวัด
 6. CX สำหรับการวัดความจุไฟฟ้า มี 5 ช่วงการวัด
 7. h_{FE} สำหรับการวัดการขยายกระแสตรงของทรานซิสเตอร์
 8. \rightarrow สำหรับตรวจสอบไดโอด
4. ช่องเสียบสายวัดร่วม : (COM) ใช้เป็นช่องเสียบร่วมสำหรับการวัดทั้งหมด (ยกเว้นการวัด CX และ h_{FE} ไม่ต้องใช้สายวัด)
 5. ช่องเสียบสายวัด mA สำหรับวัด DCA และ ACA ที่มีขนาด 0-200 mA
 6. ช่องเสียบสายวัด 10A สำหรับวัด DCA และ ACA ที่มีขนาด 200 mA-10A
 7. ช่องเสียบสำหรับวัดการขยายกระแสตรงของทรานซิสเตอร์
 8. ช่องเสียบสำหรับวัดความจุไฟฟ้า
 9. ช่องเสียบสายวัด V Ω

ลักษณะเฉพาะบางประการของเครื่องวัด

1. จอแสดงผล (display) แสดงด้วยตัวเลข $3\frac{1}{2}$ หลัก ($3\frac{1}{2}$ digit) เนื่องจากค่าสูงสุดที่สามารถแสดงได้คือ 1999 ตัวเลขหลักที่ 1, 2 และ 3 (นับจากขวาสุดไปทางซ้าย) แบรค์ต์ได้จาก 0 ถึง 9 (เรียกว่า full digit) ตัวเลขหลักที่ 4 จะแสดงตัวเลขได้เฉพาะ 1 เท่านั้น (เรียกว่า half digit)
2. สภาพัช्च (polarity) ใน การวัดปริมาณทางไฟฟ้าบางชนิด เช่น ความต่างศักย์ไฟฟ้ากระแสตรงด้วยเครื่องวัดที่ใช้เงินชี้ เป็นตัวแสดงผล เมื่อต่อสายวัดผิด polarity เงินของเครื่องวัดจะตีกลับในทิศทางข้ามในสภาวะเช่นนี้ สำหรับมัลติมิเตอร์แบบตัวเลขจะปรากฏเครื่องหมาย - บนจอแสดงผล

3. ในการรัดปริมาณได้ ฯ ที่ตั้งช่วงการรัดต่ำกว่าค่าที่จะรัด จะแสดงผลจะแสดงตัวเลข 1 หรือ -1 เช่น จะรัดความด้านหาน 10 kΩ แต่ตั้งช่วงการรัดไว้ที่ 0-2 kΩ จะปรากฏ 1 แสดงว่าค่าที่จะรัด สูงกว่าช่วงการรัดที่ตั้งไว้
4. เมื่อแหล่งจ่ายกำลังให้เครื่องรัด คือ แบตเตอรี่ 9V อ่อนกำลัง LO BAT จะปรากฏบนจอเตือนให้ ผู้ใช้เปลี่ยนแบตเตอรี่ใหม่

2.11 กระจก (glass)^[18]

กระจกเป็นวัสดุที่ใช้ตกแต่งภายในอาคารเพื่อความสวยงามและเพิ่มความสว่างไสวให้กับอาคารบ้านเรือนใช้กับอุตสาหกรรมยานยนต์และมีการใช้งานทั่วไปอย่างกว้างขวางวัตถุดิบที่ใช้ในการผลิตกระจกประมาณ 80% ได้มาจากแหล่งผลิตในประเทศไทยแก่ ทรายแก้ว (silica sand) หินฟันม้า หินโดโลไมต์ (dolomite) เศษกระเจา (cullets) และวัตถุดิบที่นำเข้าจากต่างประเทศ ได้แก่ โซดาแอซ ผงคาร์บอน ผงเหล็ก โซเดียมซัลไฟด์

กรรมวิธีการผลิตกระจกจะเริ่มผลิตโดยการนำวัตถุดิบซึ่งได้แก่ ทรายแก้ว หินฟันม้า หินโดโลไมต์ เศษกระเจา โซดาแอซ หินปูน และโซเดียมซัลไฟด์มาผสมเข้าด้วยกันตามอัตราส่วนที่ได้กำหนดไว้แล้วนำส่วนผสมที่ได้นี้ไปใส่ในเตา ที่มีอุณหภูมิ 1,500 องศาเซลเซียส จนวัสดุต่างๆ เกิดการหลอมละลายจนได้น้ำแก้ว (เชื้อเพลิงได้แก่ น้ำมันเตาซึ่งใช้แทนถ่านหิน) หลังจากนั้นจะปรับอุณหภูมิของน้ำแก้วให้เหลือประมาณ 1,100 องศาเซลเซียสจนมีความหนืดพองเหมาะสมต่อการขึ้นรูปน้ำแก้วจะถูกนำไปผ่านกระบวนการที่ทำให้เป็นแผ่นโดยวิธีการปั๊ยกให้ไหลลงไปฟอร์มตัวเป็นแผ่นกระจกบนผิวดีบอคแอลมาร์ติโน่จะได้แผ่นกระจกที่เรียกว่ากระจกโฟลตมีคุณสมบัติกว่าแผ่นกระจกที่ผลิตโดยระบบอื่นๆ คือผิวของแผ่นกระจกจะเรียบไม่เป็นคลื่นมีความหนาสามมิลลิเมตรลดลงทั้งแผ่นผิวสุกใสແවງวาวไม่ชุ่มน้ำการผลิตกระจกแผ่นสามารถแบ่งออกได้เป็น 2 ขั้นตอนคืออุตสาหกรรมกระจกแผ่น และ อุตสาหกรรมกระจกต่อเนื่อง

1. อุตสาหกรรมกระจกแผ่น เป็นอุตสาหกรรมการผลิตกระจกพื้นฐานสามารถแบ่งออกเป็น 2 ชนิดใหญ่ ๆ ได้แก่

1.1 กระจกโฟลต (float glass) ได้มาจากการกระบวนการผลิตที่เรียกว่า กระบวนการโฟลต (float process) เป็นกระจกที่มีคุณภาพดีเยี่ยม มีผิวทั้งสองด้านเรียบสนิท เป็นกระจกที่มีความโปร่งใส มีคุณภาพสูง ทนทานต่อการชื้นชื้นได้เป็นอย่างดี มีความหนาประมาณ 2 ถึง 19 มิลลิเมตร สำหรับในญี่

ใช้งานกับประตู หน้าต่างอาคาร ตู้แสดงสินค้า ใช้กับการก่อสร้างที่ต้องการผนังเป็นกระจกขนาดใหญ่

1.2 กระจกชีท (sheet glass) เป็นกระจกที่มีคุณภาพด้อยกว่ากระจกฟลิตเล็กน้อยเป็นกระจกแผ่นเรียบ ใช้งานกับหน้าต่างของที่อยู่อาศัย อาคาร ครอบรูป ผลิตภัณฑ์กระจกชีทสามารถแบ่งออกเป็นกระจกใส กระจกสี กระจกฝ้า (เป็นกระจกชีทที่นำมาขัดฝ้าที่ผิวให้เป็นฝาหันห้องหรือประตู) และกระจกดอกลายที่มีลวดลายพิมพ์ลงด้านหนึ่งด้านใดของกระจก สามารถมองผ่านได้สั้น ๆ มีคุณสมบัติที่บก็ง่าย หมายความว่า สามารถแต่งภายใน เช่น โคมไฟ บานประตู หน้าต่าง และภายนอกอาคาร

2. อุตสาหกรรมกระจกต่อเนื่องเป็นการนำกระจกฟลิตและกระจกชีทมาแปรรูป เพื่อประโยชน์ใช้สอยตามคุณสมบัติและลักษณะงานที่แตกต่างกันได้แก่

2.1 กระจกเงา (mirror glass) ได้จากการขับโลหะเงินลงไปที่ด้านใดด้านหนึ่งของกระจกฟลิตชนิดไหนหรือกระจกฟลิตตืดแสง แล้วนำมาเคลือบด้วยสารโลหะทองแดงเป็นการป้องกันโลหะเงินที่หลุดล่อนี้ และเพื่อความทนทานในการใช้งาน และเคลือบทับด้วยสีที่มีคุณภาพและมีความหนาที่เหมาะสม สีที่เคลือบแต่ละชั้นจะผ่านการอบแห้งด้วยความร้อนสูงทำให้การยึดติดกันระหว่างชั้นต่าง ๆ ดีขึ้น

2.2 กระจกสะท้อนแสง (heat reflection glass) ได้จากการนำกระจกแผ่นใสมาเคลือบด้วยออกไซด์ของโลหะ ขนาดความหนาของการเคลือบขึ้นอยู่กับระดับความเข้มของแสงที่ส่องผ่านกระจกสะท้อนแสงมีคุณสมบัติด้านการสะท้อนแสงได้ดี เมื่อมองจากภายนอก อาคารจะคล้ายกระจกเงา หากมองจากภายในอาคารจะคล้ายกระจกฟลิต หากมองจากภายในอาคารจะคล้ายกระจกสีตัดแสง ดังรูปที่ 2.23

2.3 กระจกนิรภัยเทมเปอร์ (architectural flat tempered safety glass) ได้จากการนำกระจกแผ่นธรรมดามาเผาที่มีอุณหภูมิ 650 ถึง 700 องศาเซลเซียส แล้วใช้ลมเป่าทั้งสองด้านเพื่อให้กระจกเย็นลงอย่างรวดเร็วทำให้ผิวของกระจกจะอยู่ในสภาพแรงอัด ขณะที่ภายในของกระจกอยู่ในสภาพแรงดึง ด้วยผิวที่อยู่ในสภาพแรงอัด เมื่อกระจกถูกกระแทกหรือทุบจนแตก แผ่นกระจกจะแตกกละเอียดเป็นเม็ดเล็กๆ ที่ไม่มีคมมีความแข็งกว่ากระจกธรรมชาติ 2 ถึง 3 เท่า นิยมใช้งานกับยานพาหนะหรือส่วนของอาคารที่ง่ายต่อการถูกกระแทก

2.4 กระจกนิรภัยหลายชั้น (architectural flat laminated safeted glass) เป็นกระจกที่เพิ่มความปลอดภัยให้แก่ผู้ใช้มากขึ้น มีขั้นตอนการผลิตดังนี้

ก. การเตรียมกระจก โดยการคัดเลือกกระจกที่มีคุณสมบัติ และไม่มีตำหนิ เลือกความหนา ความกว้าง และความยาว แล้วตัดให้ได้ขนาดตามที่ต้องการ

ข. การทำความสะอาด ขั้นตอนนี้จะต้องใช้เครื่องล้าง ซึ่งต้องใช้น้ำสะอาดล้าง ขัดและเป่ากระจกให้แห้ง

ค. การเข้าประกลบวัสดุคันกลาง โดยการนำฟิล์มโพลีไวนิลบิวเทอรอล (polyvinyl butyral) ที่มีคุณสมบัตินี้ยืดและแข็งแรงมาปิดทับหน้ากระจกที่ผ่านการทำความสะอาดแล้ว และนำกระจกอีกแผ่นมาประกบลงบนกระจกแผ่นแรก ดึงฟิล์มให้ดึงและประกลบกระจกให้ขอบเส้นอกันทุกด้านแล้ว ตัดฟิล์มส่วนเกินทิ้ง

ง. การอัดประกลบ กระจกที่ประกลบกับวัสดุคันกลางแล้ว จะถูกอัดประกลบโดยใช้ความร้อนที่มีอุณหภูมิ 120 ถึง 130 องศาเซลเซียส แล้วใช้ลูกกลิ้งรีดกระจกทั้งสองแผ่นให้ติดสนิทกัน

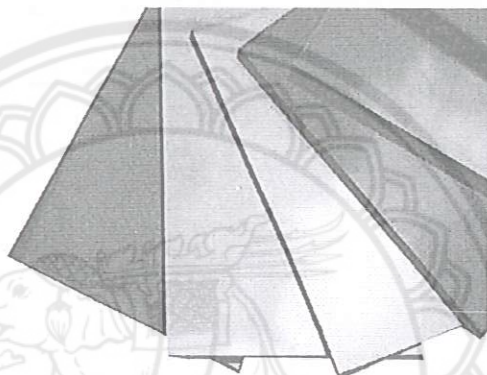
จ. การอบกระจกที่อัดประกลบแล้วจะเป็นกระจกที่สำเร็จ คือเนื้อฟิล์มจะใสขึ้นแต่ยังไม่ใสมาก จึงต้องนำเข้าเตาอบในญี่อีกครั้งหนึ่ง เตาอบในญี่เป็นเตาอบชั่งอบกระจกโดยควบคุมความร้อนและความดันจนได้กระจกที่ใสมากจนไม่สามารถมองเห็นแผ่นฟิล์มได้

กระจกนิรภัยหลายชั้น มีคุณสมบัติบังกันโน้มยอย่างได้ผล เพราะหากแก่การเจาะผ่าน และเมื่อเกิดการกระแทกหรือชนอย่างรุนแรง ชิ้นส่วนที่แตกจะไม่หลุดออกจากกัน ยังคงสภาพเดิม เพียงแต่มีรอยร้าวเกิดขึ้น

2.5 กระจกอนุวัณ (sealed insulating glass) เป็นกระจก 2 แผ่นหรือมากกว่าวางคู่ชานกัน มีระยะห่างพอสมควร ขอบกระจกทุกด้านมีสารจำพวกการบรรฐานอยู่เพื่อให้กระจกคงรูป และบังกันอาหารร้ายจากภายนอกที่จะเข้ามาในช่องว่างระหว่างแผ่นกระจก มีประสิทธิภาพมากกว่ากระจกธรรมดากว่า 2 เท่า มีคุณสมบัติสามารถลดปริมาณความร้อนที่ส่งผ่านกระจก ลดระดับเสียงที่ผ่านผนังอาคารลง เหมาะสำหรับห้องสมุด พิพิธภัณฑ์ ห้องคอมพิวเตอร์

2.6 กระจกเสริมลวด (wired glass) เป็นกระจกที่มีเส้นลวดแผงตาข่ายคาดผึ้งภายในกระจก จัดเป็นกระจกนิรภัยชนิดหนึ่ง เมื่อแตก เส้นลวดจะช่วยยึดเศษกระจกไม่ให้หลุดลงมา ซึ่งอาจ ก่อให้เกิดอันตรายได้ มี 2 ชนิดคือ กระจกชนิดขุ่น (โปร่งแสง) และชนิดใส (โปร่งใส)

2.7 กระจกกันกระสุน เป็นกระจกที่ผลิตโดยการนำกระจกนิรภัยชนิดพิเศษมาติดกับกระจกนิรภัย หลายชั้น โดยมีแผ่นพิมพ์พลาสติกขั้นกลาง (ได้แก่ พลีคาร์บอนเนต พลีไวนิลบิวไทรอล)



รูปที่ 2.23 กระจกสะท้อนแสง

2.12 งานวิจัยที่เกี่ยวข้อง

Tomas Tamulevicius,Asta Tamulevičienė,Dainius Virganavicius,Andrius Vasiliauskas, Vitoldas Kopustinskas, Sarunas Meskinis, Sigitas Tamulevicius (2014) ลักษณะโครงสร้าง ของฟิล์มบางที่มีสารประกอบระดับนาโนของ DLC : Ag โดยใช้พลาสม่ากัตกร่อนและไอโอน สปัตเตอริ่ง^[19] มีวัตถุประสงค์เพื่อศึกษาการใช้ photoresist และ aluminum mask โดยการฉายแสง ผ่านกระบวนการกัดกร่อนด้วยพลาสม่าเคมีหรือกระบวนการกรือก้อน สปัตเตอริ่ง สามารถผลิตเป็น grating โดยใช้กระบวนการ magnetron sputtering ด้วย Ag Target ทำให้เกิดปฏิกิริยาที่ไม่ สม่ำเสมอโดยก๊าซผสม C_2H_2/Ar โครงสร้างจะถูกดำเนินการโดยใช้กระบวนการ PCE โดยก๊าซ ผสม CF_4/O_2 ,กระบวนการ IS และกระบวนการกรารรวมกัน PCE + IS ขณะปลดปล่อยฟิล์มและ สัมผัสกับสารเคลือบผิวของ พลาสม่าเคมีจะแสดงลักษณะเฉพาะตัวโดยวิเคราะห์ทางกายภาพด้วย กล้องจุลทรรศน์อิเล็กตรอนแบบส่องกล้อง (SEM), หาองค์ประกอบทางเคมีโดยวัดปริมาณ x-ray ที่ เกิดขึ้นด้วยเครื่อง EDS , วิเคราะห์ตรวจสอบโครงสร้างของสารด้วยเครื่อง FTIR และตรวจวัด

ปริมาณแสงและค่า intensity ในช่วง รังสี UV และช่วงแสงขาวที่ทะลุผ่านด้วยเครื่อง UV-VIS หลังจากปั๊กฟิล์ม DLC:Ag แล้ว จะฉายแสงให้ PhR mask / Al mask มาเคลือบทับลงบน ฟิล์ม DLC:Ag และ remove PhR mask / Al mask ด้วย สารขจัด Photoresist mr-Ram 660 และในกระบวนการต่างๆจะแสดงให้เห็นว่า จะได้ลักษณะทางกายภาพของ grating ที่แตกต่างกัน พบว่า การใช้ photoresist และ aluminum mask โดยการฉายแสงผ่านกระบวนการกัดกร่อนด้วยพลาสม่าเคมีหรือกระบวนการการไอโอน สถาปัตยกรรม สามารถผลิตเป็น grating ได้ อมรรัตน์ ทาเกิด (2015) การประดิษฐ์และวิเคราะห์สมบัติทางแสงของกระจกเคลือบฟิล์มบาง ทองแดงด้วยวิธีสปัตเตอริ่ง^[20] มีวัตถุประสงค์เพื่อศึกษาสมบัติทางแสงของกระจกเคลือบฟิล์มบาง ทองแดงโดยใช้วิธีสปัตเตอริ่ง โดยเคลือบฟิล์มบางทองแดงบนกระจกด้วยวิธีสปัตเตอริ่งที่ความหนา 0, 25, 50, 75, 100, 125, 150, 175 และ 200 นาโนเมตร จากนั้นวิเคราะห์สมบัติทางแสงด้วย เดเซอร์ทั้งหมด 4 ความยาวคลื่นคือ 405, 532, 650 และ 780 นาโนเมตร พบว่ากระจกเคลือบฟิล์ม บางทองแดงนี้มีสมบัติทางแสงที่แตกต่างกันตามต้นกำเนิดแสงที่ต่างกัน

บทที่ 3

ขั้นตอนดำเนินการวิจัย

งานวิจัยนี้เกี่ยวข้องกับการเคลือบฟิล์มบางเงินบนกระดองด้วยวิธีสปัตเตอริ่งที่ความหนาต่างๆ เพื่อศึกษาสมบัติทางการแพทย์ด้วยกล้องจุลทรรศน์อิเล็กตรอนแบบส่องกระดาษและศึกษาสมบัติการสะท้อนและการส่องผ่านของต้นกำเนิดแสงความยาวคลื่นเฉพาะค่าที่มุ่งผลกระทบต่างๆ ด้วยเลเซอร์ความยาวคลื่น 405, 532, 650 และ 780 นาโนเมตร

3.1 เคลือบฟิล์มบางเงินบนกระดองด้วยวิธีสปัตเตอริ่ง

3.1.1 การเตรียมกระดองสไลด์ ดังแสดงในรูปที่ 3.1 (ก) คัดเลือกกระดองสไลด์ที่ไม่มีรอยขีดข่วน ไม่มีรอยแตกหรือร้าว จากนั้นนำกระดองสไลด์ที่เลือกไว้มาเขิดทำความสะอาดด้วยอะซีโตน ดังแสดงในรูปที่ 3.1 (ข) โดยเช็ดด้วยผ้าเช็ดเลนส์หรือกระดาษทิชชูที่รีบขนให้สะอาด หลังจากนั้นนำมาห่อด้วยอะลูมิเนียมฟอยล์เพื่อกันไว้ใช้ในการเคลือบ



(ก)

(ข)

รูปที่ 3.1 (ก) กระดองสไลด์ (ข) อะซีโตน

3.1.2 เคลือบฟิล์มบางเงินบนกระดองสไลด์ด้วยวิธีสปัตเตอริ่งโดยเคลือบด้วยเครื่อง Vacumm coating รุ่น EDWARD 603 sputtering magnetron ที่ตั้งอยู่ศูนย์ปฏิบัติการวิทยาศาสตร์ ดังแสดงในรูปที่ 3.2 ที่ความหนาทั้งหมด 10 ชนิด คือ กระดองเคลือบฟิล์มบางเงิน 10 นาโนเมตร, กระดองเคลือบฟิล์มบางเงิน 20 นาโนเมตร, กระดองเคลือบฟิล์มบางเงิน 30 นาโนเมตร,

จะจากเคลือบฟิล์มบางเงิน 40 นาโนเมตร, จะจากเคลือบฟิล์มบางเงิน 50 นาโนเมตร, จะจากเคลือบฟิล์มบางเงิน 60 นาโนเมตร, จะจากเคลือบฟิล์มบางเงิน 70 นาโนเมตร, จะจากเคลือบฟิล์มบางเงิน 80 นาโนเมตร, จะจากเคลือบฟิล์มบางเงิน 90 นาโนเมตร, จะจากเคลือบฟิล์มบางเงิน 100 นาโนเมตร และอีก 1 ชนิด คือจะจากที่ไม่เคลือบฟิล์มบางเงินเพื่อใช้ในการเปรียบเทียบในการวิเคราะห์สมบัติการสะท้อนและการส่องผ่านของแสง



รูปที่ 3.2 เครื่อง Vacuum coating รุ่น EDWARD 603
sputtering magnetron

3.2 วิเคราะห์สมบัติทางกายภาพของจะจากเคลือบฟิล์มบางเงิน

ขั้นตอนการวิเคราะห์สมบัติทางกายภาพ

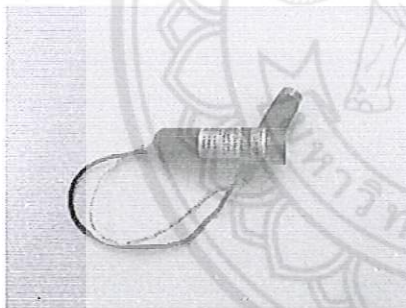
1. นำจะจากเคลือบฟิล์มบางเงินมาตัดขนาด 1×1 เซนติเมตร
2. นำจะจากเคลือบฟิล์มบางเงินมาวิเคราะห์ด้วยกล้องจุลทรรศน์อิเล็กตรอนแบบส่องกราดด้วยกำลังขยาย 5,000 และ 10,000 เท่า
3. บันทึกและสรุปผลการวิเคราะห์ลักษณะทางกายภาพ

3.3 วิเคราะห์สมบัติการส่องผ่านและการสะท้อน

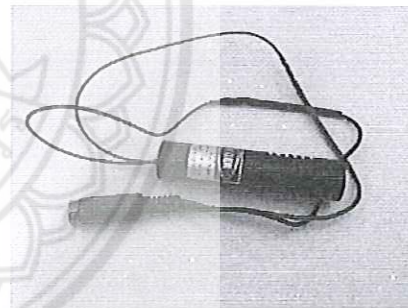
วิเคราะห์สมบัติการส่องผ่านของกระจากเคลือบฟิล์มบางเงินที่มุนต์กระทนบตั้งแต่ 15, 30, 45, 60 และ 75 องศาและวิเคราะห์สมบัติการสะท้อนที่มุนต์กระทนบตั้งแต่ 0; 15, 30, 45, 60 และ 75 องศา จากต้นกำเนิดแสงเดเชอร์ความยาวคลื่น 405, 532, 650 และ 780 นาโนเมตร ของกระจากเคลือบฟิล์มบางเงินทั้งหมด 9 ความหนา

3.3.1 ต้นกำเนิดแสง

เดเชอร์ไดโอดในที่นี้นำเดเชอร์มาใช้ทั้งหมด 4 ความยาวคลื่นได้แก่ เดเชอร์สีม่วงความยาวคลื่น 405 นาโนเมตร เดเชอร์สีเขียวความยาวคลื่น 532 นาโนเมตร เดเชอร์สีแดงความยาวคลื่น 650 นาโนเมตร และเดเชอร์ร้อนไฟาร์เดความยาวคลื่น 780 นาโนเมตร ดังแสดงในรูปภาพที่ 3.3 ก, ข, ค, และ ง ตามลำดับ



(ก)



(ข)



(ค)



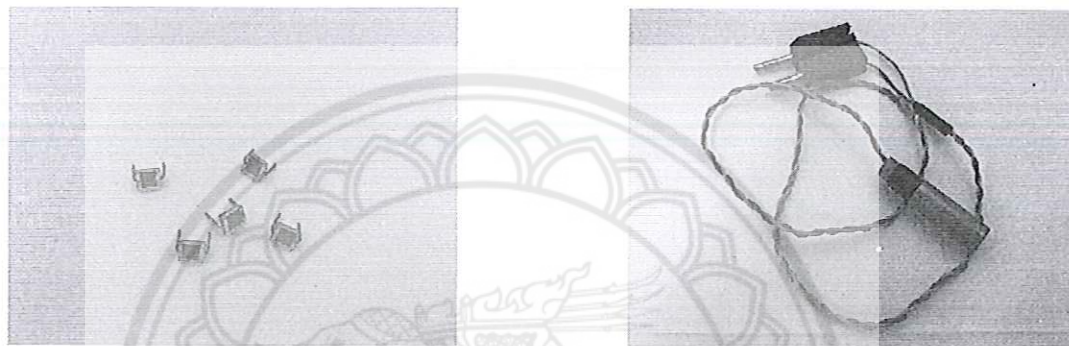
(ง)

รูปที่ 3.3 เดเชอร์ไดโอดและเดเชอร์ร้อนไฟาร์เดความยาวคลื่น

(ก) 405 nm (ข) 532 nm (ค) 650 nm (ง) 780 nm

3.3.2 หัววัดแสง

นำหัววัดแสงไฟโดยได้ดึงแสงแดงในรูป 3.4 (ก) ที่ครอบด้วยแท่งโลหะทรงกระบอกและเชื่อมต่อกับสายไฟเพื่อป้องกันแสงจากภายนอกและนำมาเชื่อมกับมัลติมิเตอร์เพื่อที่จะให้หัววัดแสงไฟโดยได้รอดอ่อนค่าความเข้มแสงการส่งผ่านและการสะท้อนจากต้นกำเนิดแสงเท่านั้นเพื่อลดค่าความคลาดเคลื่อนจากหัววัดแสงที่ได้รับค่าจากแสงภายนอก ดังแสดงในรูปที่ 3.4 (ข)



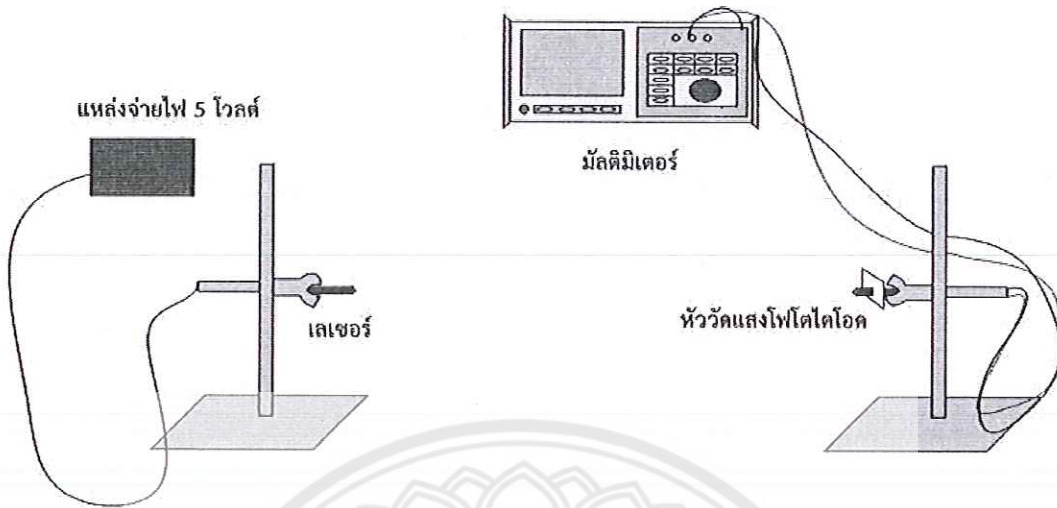
(ก)

(ข)

รูปที่ 3.4 (ก) หัววัดแสงไฟโดยได้ดึง (ข) แท่งโลหะทรงกระบอกครอบหัววัดไฟโดยได้ดึง

3.3.3 การจัดตั้งระบบ

1. ในงานวิจัยนี้ผู้วิจัยได้ออกแบบชุดการจัดตั้งระบบเพื่อวิเคราะห์และวัดค่าสมบัติการส่องผ่านและการสะท้อนของแสงที่มุ่งตากกระหบด่างๆ โดยใช้ต้นกำเนิดแสงเชื่อมต่อกับแหล่งจ่ายไฟขนาด 5 โวลต์เพื่อให้ต้นกำเนิดแสงมีความนิ่งของแสงที่ปล่อยออกมามากจากต้นกำเนิดแสงนั้นเข้าหัววัดแสงไฟโดยได้ดึงที่ต่อ กับ มัลติมิเตอร์ที่ปรับเป็นโหมดเรย์บอร์ดแล้ว ดังแสดงในรูปที่ 3.5



รูปที่ 3.5 แสดงชุดการจัดตั้งระบบการวิเคราะห์ความเข้มแสงส่องผ่าน

และการสะท้อนของแสงโดยยิงตันกำเนิดแสงเข้าตัววัดโดยตรง

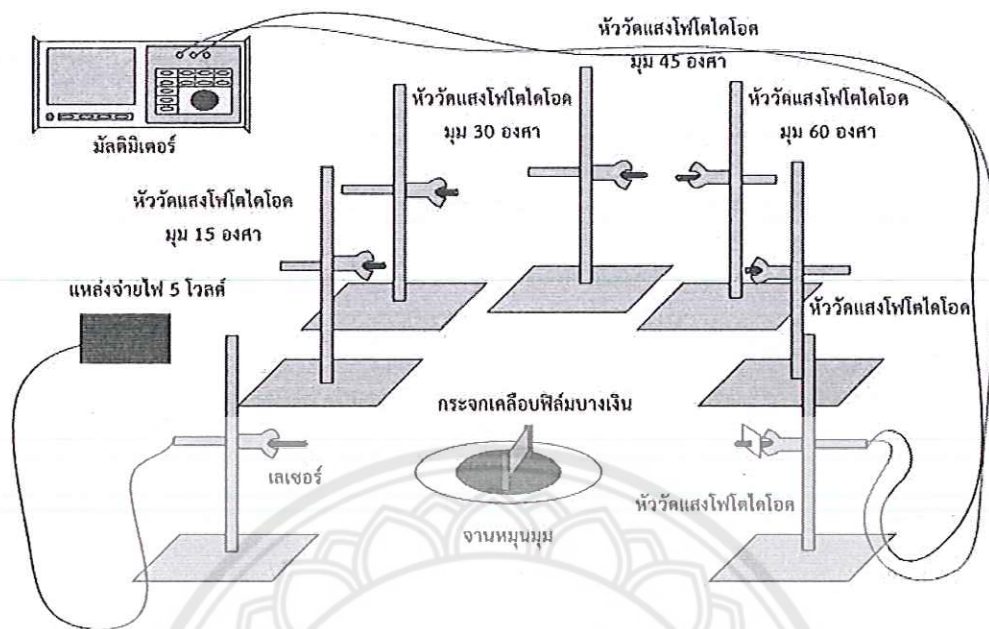
2. ในงานวิจัยนี้ผู้วิจัยได้ออกแบบชุดการจัดตั้งระบบเพื่อวิเคราะห์และวัดค่าสมบัติการส่องผ่านที่มุ่งผลกระทบตั้งแต่ 15, 30, 45, 60 และ 75 องศา และวัดค่าสมบัติการสะท้อนที่มุ่งผลกระทบตั้งแต่ 0, 15, 30, 45, 60 และ 75 องศา โดยนำกระจากเคลื่อนฟิล์มบางเงินที่ยึดติดกับฐานหมุนหมุนต่างๆ มาว่างก้นระหว่างตันกำเนิดแสงที่เชื่อมต่อกับแหล่งจ่ายไฟ 5 โวลต์ กับหัววัดแสงที่เชื่อมต่อกับมัลติมิเตอร์ที่ปรับเป็น ไมโครแอมเปอร์ หลังจากนั้นทำการวัดค่าการส่องผ่านและการสะท้อนของแสงโดยปรับมุมเป็น 0, 15, 30, 45, 60 และ 75 องศาจนครบทุกๆ ความหนา ดังแสดงในรูปที่ 3.6 และมีการจัดตั้งระบบเพื่อวิเคราะห์สมบัติการส่องผ่านและการสะท้อนของแสงในชุดการจัดตั้งระบบจริงดังที่แสดงในรูปที่ 3.7

บทที่ 4

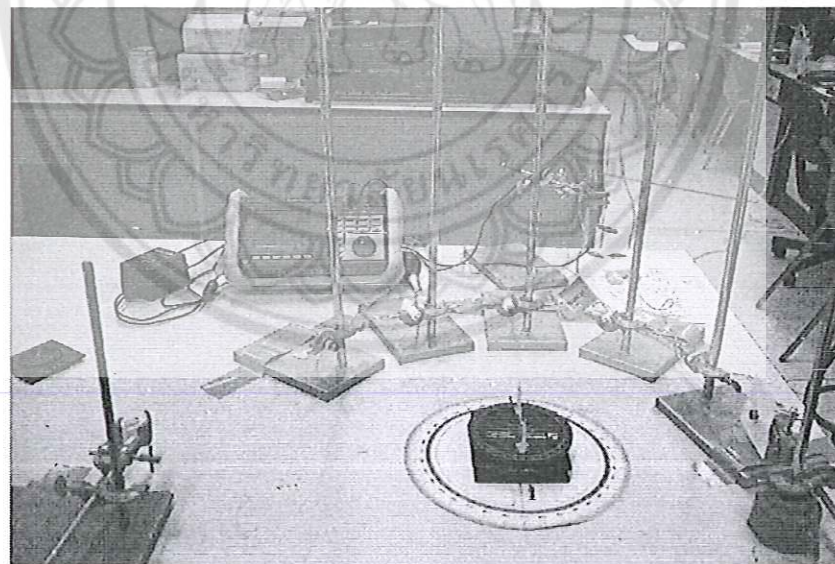
ผลการทดลองและการวิเคราะห์ข้อมูล

4.1 กระบวนการเคลือบฟิล์มบางเงิน

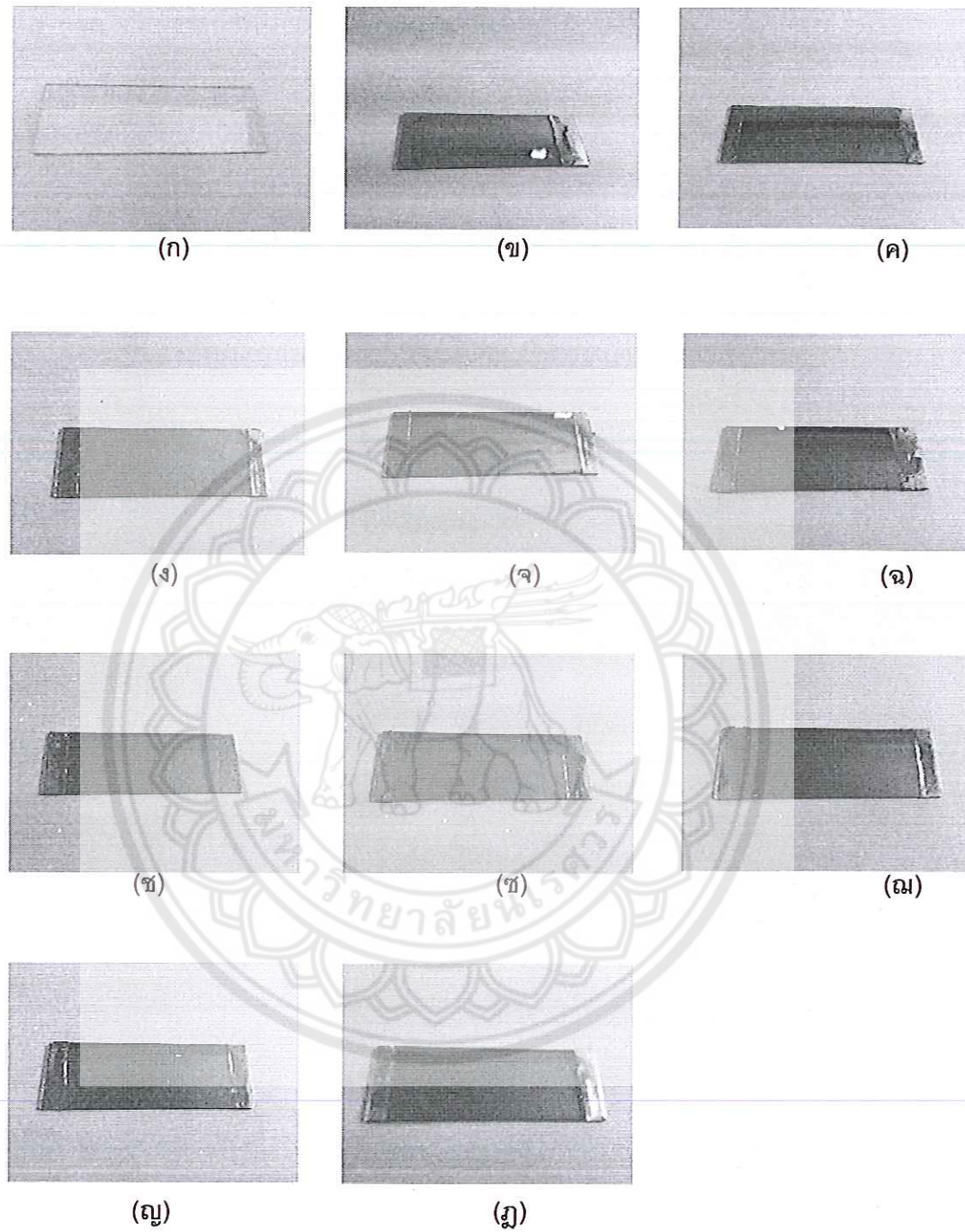
กระบวนการเคลือบฟิล์มบางเงินด้วยวิธีสปัตเตอริ่งด้วยเครื่อง vacuum coating รุ่น EDWARD 603 sputtering magnetron ตั้งอยู่ศูนย์ปฏิบัติการวิทยาศาสตร์โดยจะทำการเคลือบฟิล์มบางเงินที่ใช้ในการวิเคราะห์ลักษณะทางกายภาพและสมบัติการส่องผ่านการสะท้อนของแสงโดยมีความหนาต่างๆ ดังนี้ กระบวนการที่ไม่เคลือบฟิล์มบางเงิน 0 นาโนเมตร ดังรูปที่ 4.1 (ก) กระบวนการเคลือบฟิล์มบางเงิน 10 นาโนเมตร ดังรูปที่ 4.1 (ข) กระบวนการเคลือบฟิล์มบางเงิน 20 นาโนเมตร ดังรูปที่ 4.1 (ค) กระบวนการเคลือบฟิล์มบางเงิน 30 นาโนเมตร ดังรูปที่ 4.1 (ง) กระบวนการเคลือบฟิล์มบางเงิน 40 นาโนเมตร ดังรูปที่ 4.1 (จ) กระบวนการเคลือบฟิล์มบางเงิน 50 นาโนเมตร ดังรูปที่ 4.1 (ฉ) กระบวนการเคลือบฟิล์มบางเงิน 60 นาโนเมตร ดังรูปที่ 4.1 (ช) กระบวนการเคลือบฟิล์มบางเงิน 70 นาโนเมตร ดังรูปที่ 4.1 (ซ) กระบวนการเคลือบฟิล์มบางเงิน 80 นาโนเมตร ดังรูปที่ 4.1 (ญ) กระบวนการเคลือบฟิล์มบางเงิน 90 นาโนเมตร ดังรูปที่ 4.1 (ญ) กระบวนการเคลือบฟิล์มบางเงิน 100 นาโนเมตร ดังรูปที่ 4.1 (ญ)



รูปที่ 3.6 ชุดการจัดตั้งระบบการวิเคราะห์ความเข้มแสงส่องผ่าน และการสะท้อนของแสงโดยยิงตันกำเนิดแสงผ่านกระจากเคลือบพิล์มนบางเงิน



รูปที่ 3.7 ระบบวิเคราะห์การส่องผ่านและการสะท้อน ของแสงในชุดการจัดตั้งระบบจริง



รูปที่ 4.1 ผลกระทบเคลื่อนพิล์มบางเงินด้วยความหนาต่างๆ

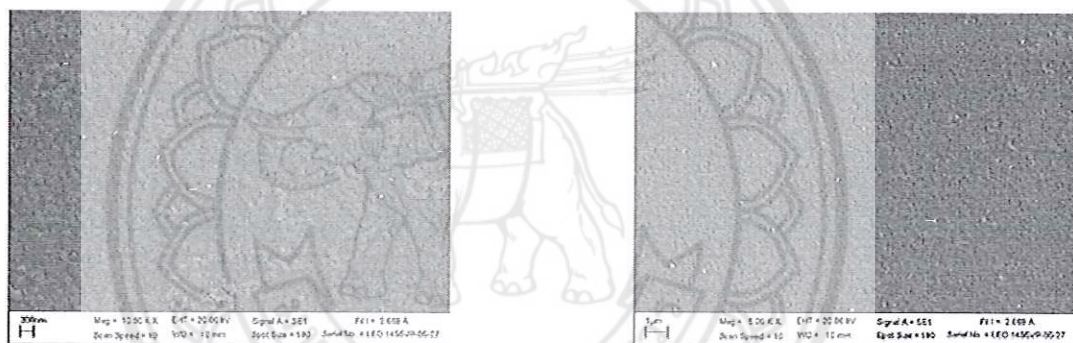
(ก) 0 nm (ก) 10 nm (ก) 20 nm (ก) 30 nm (ก) 40 nm (ก) 50 nm

(ก) 60 nm (ก) 70 nm (ก) 80 nm (ก) 90 nm (ก) 100 nm

4.2 ผลการวิเคราะห์ลักษณะทางกายภาพ

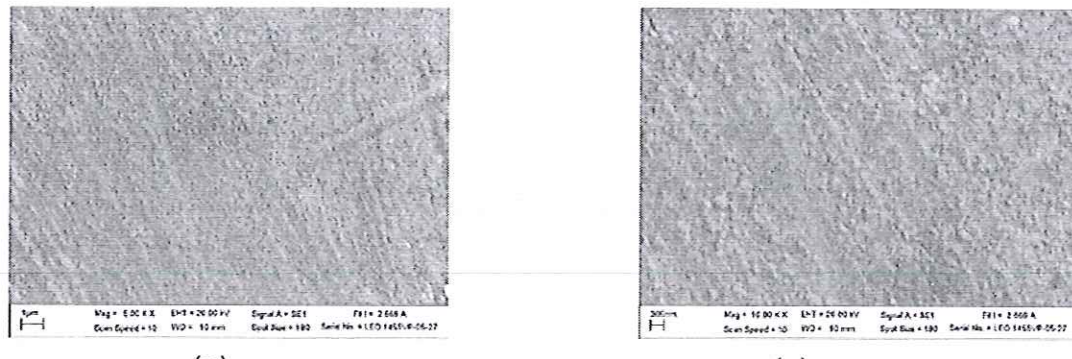
จากการวิเคราะห์ลักษณะทางกายภาพของกระจากเคลือบฟิล์มบางเงินในงานวิจัยนี้ได้เลือกกระจากเคลือบฟิล์มบางเงินโดยครอบคลุมทั้งหมดในความหนาทุกๆ 20 นาโนเมตร ทั้งหมด 5 ความหนา คือ 20 นาโนเมตร, 40 นาโนเมตร, 60 นาโนเมตร, 80 นาโนเมตร และ 100 นาโนเมตร โดยวิเคราะห์ลักษณะทางกายภาพด้วยกล้องจุลทรรศน์อิเล็กtronแบบส่องกราดด้วยกำลังขยาย 5,000 เท่า และ 10,000 เท่า

4.2.1 กระจากเคลือบฟิล์มบางเงินความหนา 20 นาโนเมตร โดยภาพถ่ายจากกล้องจุลทรรศน์อิเล็กtronแบบส่องกราดที่กำลังขยาย 5,000 เท่า และ 10,000 เท่า ดังรูปที่ 4.2 (ก) และ รูปที่ 4.2 (ข) ตามลำดับ



รูปที่ 4.2 ภาพถ่ายจากกล้องจุลทรรศน์อิเล็กtronแบบส่องกราด
(ก) กำลังขยาย 5,000 เท่า (ข) 10,000 เท่า

4.2.2 กระจากเคลือบฟิล์มบางเงินความหนา 40 นาโนเมตร โดยภาพถ่ายจากกล้องจุลทรรศน์ อิเล็กtronแบบส่องกราดที่กำลังขยาย 5,000 เท่า และ 10,000 เท่า ดังรูปที่ 4.3 (ก) และรูปที่ 4.3 (ข) ตามลำดับ



(ก)

(ข)

รูปที่ 4.3 ภาพถ่ายจากกล้องจุลทรรศน์อิเล็กตรอนแบบส่องการดู

(ก) กำลังขยาย 5,000 เท่า (ข) 10,000 เท่า

4.2.3 กระเจาเคลือบฟิล์มบางเงินความหนา 60 นาโนเมตร โดยภาพถ่ายจากกล้องจุลทรรศน์อิเล็กตรอนแบบส่องการดูที่กำลังขยาย 5,000 เท่า และ 10,000 เท่า ดังรูปที่ 4.4 (ก) และ รูปที่ 4.4 (ข) ตามลำดับ



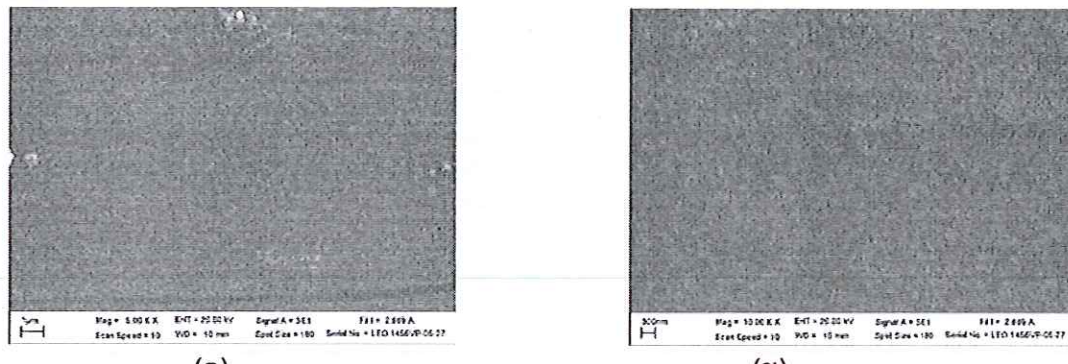
(ก)

(ข)

รูปที่ 4.4 ภาพถ่ายจากกล้องจุลทรรศน์อิเล็กตรอนแบบส่องการดู

(ก) กำลังขยาย 5,000 เท่า (ข) 10,000 เท่า

4.2.4 กระเจาเคลือบฟิล์มบางเงินความหนา 80 นาโนเมตร โดยภาพถ่ายจากกล้องจุลทรรศน์อิเล็กตรอนแบบส่องการดูที่กำลังขยาย 5,000 เท่า และ 10,000 เท่า ดังรูปที่ 4.5 (ก) และ รูปที่ 4.5 (ข) ตามลำดับ



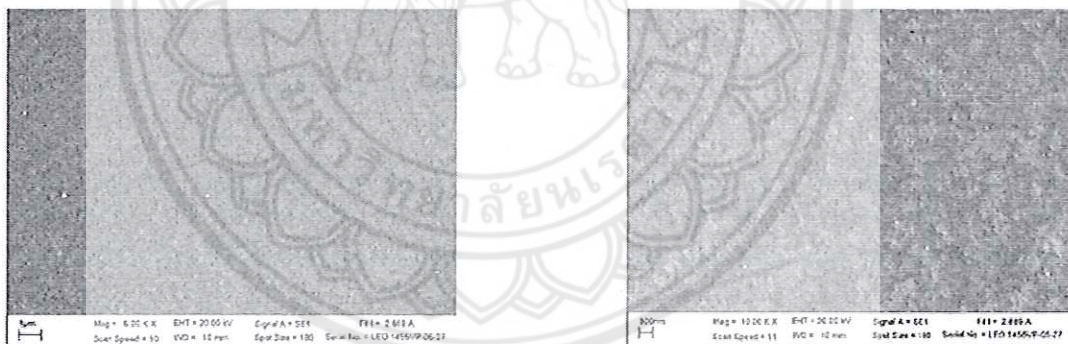
(n)

(x)

รูปที่ 4.5 ภาพถ่ายจากกล้องจุลทรรศน์อิเล็กตรอนแบบส่องการดู

(ก) กำลังขยาย 5,000 เท่า (ข) 10,000 เท่า

4.2.5 กระบวนการเคลือบฟิล์มบางเงินความหนา 100 นาโนเมตร โดยภาพถ่ายจากกล้องจุลทรรศน์อิเล็กตรอนแบบส่องการดูที่กำลังขยาย 5,000 เท่า และ 10,000 เท่า ดังรูปที่ 4.6 (ก) และ รูปที่ 4.6 (ข) ตามลำดับ



(n)

(x)

รูปที่ 4.6 ภาพถ่ายจากกล้องจุลทรรศน์อิเล็กตรอนแบบส่องการดู

(ก) กำลังขยาย 5,000 เท่า (ข) 10,000 เท่า

4.3 ผลการวิเคราะห์สมบัติการส่องผ่านและการสะท้อนของแสง

จากการวิเคราะห์สมบัติการส่องผ่านและการสะท้อนแสงของกระบวนการเคลือบฟิล์มบางเงินทั้งหมด 11 ความหนา โดยใช้ต้นกำเนิดแสงทั้งหมด 4 ความยาวคลื่นได้แก่ 405, 532, 650 และ 780 นาโนเมตร ภายในห้องที่มีอุณหภูมิคงที่ขณะทำการทดสอบบนนั้นมีอุณหภูมิห้องอยู่ที่ 25 องศา

ผลเรียส จากนั้นนำค่าที่ได้จากการทดสอบมาวิเคราะห์หาค่าความเข้มการส่องผ่านดังแสดงในสมการ 4.1 และหาค่าความเข้มการสะท้อนแสงดังแสดงในสมการที่ 4.2

$$T = \frac{I_T}{I_0} \quad (4.1)$$

เมื่อ T คือ ค่าสภาพส่องผ่าน

เมื่อ I_0 คือ ค่าความเข้มแสงที่ตอกกระทบ

เมื่อ I_T คือ ค่าความเข้มแสงที่ทะลุผ่าน

$$R = \frac{I_R}{I_0} \quad (4.2)$$

เมื่อ R คือ ค่าสภาพสะท้อน

เมื่อ I_0 คือ ค่าความเข้มแสงที่ตอกกระทบ

เมื่อ I_R คือ ค่าความเข้มแสงที่สะท้อน回来

$$A = \frac{I_A}{I_0} \quad (4.3)$$

เมื่อ A คือ ค่าสภาพดูดกลืน

เมื่อ I_0 คือ ค่าความเข้มแสงที่ตอกกระทบ

เมื่อ I_A คือ ค่าความเข้มแสงที่ดูดกลืน

สามารถนำผลค่าการส่องผ่านและการสะท้อนมาคำนวณหาค่าสภาพการดูดกลืนได้ดังแสดงในสมการที่ 4.4, 4.5 และ 4.6

$$I_0 = I_T + I_R + I_A \quad (4.4)$$

$$\frac{I_T}{I_0} + \frac{I_R}{I_0} + \frac{I_A}{I_0} = T + R + A = 1 \quad (4.5)$$

$$A = 1 - T - R \quad (4.6)$$

จากค่าสภาพการส่องผ่านและการสะท้อนแสงแบ่งเป็นสองส่วนค่ากระแสที่วัดได้จากหัววัดแสงไฟได้โดยตามสมการที่ 4.7

$$I_0 \propto i \quad (4.7)$$

จึงได้ค่าสภาพการส่องผ่านเท่ากับค่ากระแสที่วัดได้โดยยิงตันกำเนิดแสงเข้าหัววัดแสงไฟได้โดยโดยตรงค่ากระแสที่วัดได้เมื่อตันกำเนิดแสงผ่านกระจกเคลือบฟิล์มบางเงินดังแสดงในสมการ 4.8

$$T = \frac{i_T}{i_0} \quad (4.8)$$

เมื่อ T คือ ค่าสภาพการส่องผ่าน

เมื่อ i_T คือ ค่ากระแสที่วัดได้เมื่อแสงผ่านกระจกเคลือบฟิล์มบางเงิน

เมื่อ i_0 คือ ค่ากระแสที่ได้จากการยิงเลเซอร์เข้าหัววัดโดยตรง

คิดเป็นร้อยละของสภาพการส่องผ่านดังสมการที่ 4.9

$$\%T = \frac{i_T}{i_0} \times 100\% \quad (4.9)$$

จึงได้ค่าการสะท้อนเท่ากับค่ากระแสที่วัดได้โดยยิงเลเซอร์เข้าหัววัดโดยตรงต่อค่ากระแสที่วัดได้เมื่อ
แสงเลเซอร์ผ่านกระจกเคลือบฟิล์มบางเงินดังสมการที่ 4.10

$$R = \frac{i_R}{i_0} \quad (4.10)$$

เมื่อ R คือ ค่าการสะท้อน

เมื่อ i_R คือ ค่ากระแสที่วัดได้เมื่อแสงสะท้อนกระจกเคลือบฟิล์มบางเงิน

เมื่อ i_0 คือ ค่ากระแสที่ได้จากการยิงเลเซอร์เข้าหัววัดโดยตรง

คิดเป็นร้อยละของการสะท้อนดังสมการที่ 4.11

$$\%R = \frac{i_R}{i_0} \times 100\% \quad (4.11)$$

- 1) ตารางบันทึกผลการวิเคราะห์ร้อยละความเข้มแสงส่องผ่านและการสะท้อนแสงของกระจก
เคลือบฟิล์มบางเงินพั้งหมด 11 ความหนา

ตารางที่ 4.1 ตารางบันทึกผลการวิเคราะห์ร้อยละความเข้มแสลงส่องผ่านของกระจากเคลื่อนฟิล์ม
บางเงินด้วยความหนา 0-100 นาโนเมตร ด้วยมุม 0, 15, 30, 45, 60 และ 75 องศา โดยใช้ต้น
กำเนิดแสงความยาวคลื่น 405 นาโนเมตร

ตารางที่ 4.2 ตารางบันทึกผลการวิเคราะห์อุณหภูมิและการสะท้อนแสงจากกระเบื้องพื้นบางเงิน ด้วยความหนา 0-100 นาโนเมตร ด้วยมุม 15, 30, 45, 60 และ 75 องศา โดยใช้ต้นกำเนิดแสง ความยาวคลื่น 405 นาโนเมตร

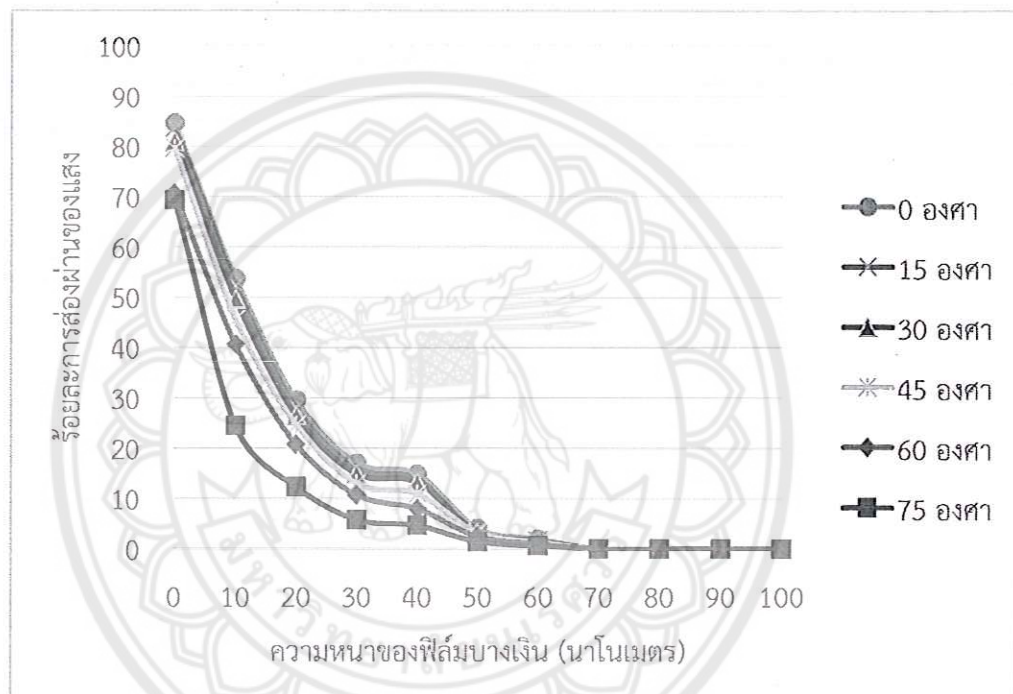
ความหนาของพื้นบางเงิน	เลเซอร์สีม่วง 405 นาโนเมตร				
	15 องศา	30 องศา	45 องศา	60 องศา	75 องศา
0 นาโนเมตร	15.33 ± 0.00	16.67 ± 0.00	19.33 ± 0.00	20.00 ± 0.00	22.00 ± 0.00
10 นาโนเมตร	17.33 ± 0.00	18.00 ± 0.00	19.6 ± 0.00	21.33 ± 0.00	30.67 ± 0.00
20 นาโนเมตร	28.67 ± 0.00	34.67 ± 0.00	38.00 ± 0.00	42.67 ± 0.00	48.00 ± 0.00
30 นาโนเมตร	49.00 ± 0.00	49.67 ± 0.00	53.33 ± 0.00	59.33 ± 0.00	60.67 ± 0.00
40 นาโนเมตร	56.33 ± 0.00	58.00 ± 0.00	59.33 ± 0.00	67.00 ± 0.00	71.33 ± 0.00
50 นาโนเมตร	53.33 ± 0.00	57.67 ± 0.00	63.00 ± 0.00	67.67 ± 0.00	70.67 ± 0.00
60 นาโนเมตร	56.33 ± 0.00	57.67 ± 0.00	64.33 ± 0.00	70.00 ± 0.00	73.00 ± 0.00
70 นาโนเมตร	61.00 ± 0.00	64.67 ± 0.00	66.00 ± 0.00	70.67 ± 0.00	75.67 ± 0.00
80 นาโนเมตร	62.67 ± 0.00	66.67 ± 0.00	69.00 ± 0.00	71.00 ± 0.00	77.00 ± 0.00
90 นาโนเมตร	64.00 ± 0.00	66.67 ± 0.00	69.33 ± 0.00	70.00 ± 0.00	79.67 ± 0.00
100 นาโนเมตร	64.67 ± 0.00	66.67 ± 0.00	71.00 ± 0.00	75.00 ± 0.00	78.67 ± 0.00

ตารางที่ 4.3 ตารางบันทึกผลการวิเคราะห์ร้อยละการดูดกลืนแสงของกระจกเคลื่อนฟิล์มบางเงิน ด้วยความหนา 0-100 นาโนเมตร ด้วยมุม 15, 30, 45, 60 และ 75 องศา โดยใช้ต้นกำเนิดแสง ความยาวคลื่น 405 นาโนเมตร

ความหนาของฟิล์มบางเงิน	เลเซอร์สีม่วง 405 นาโนเมตร				
	15 องศา	30 องศา	45 องศา	60 องศา	75 องศา
0 นาโนเมตร	1.00 ± 0.00	2.33 ± 0.00	1.00 ± 0.00	9.33 ± 0.00	8.67 ± 0.00
10 นาโนเมตร	30.33 ± 0.33	32.33 ± 0.34	34.73 ± 0.21	38.00 ± 0.14	44.80 ± 0.11
20 นาโนเมตร	43.40 ± 0.10	38.87 ± 0.05	37.33 ± 0.12	36.53 ± 0.05	39.67 ± 0.07
30 นาโนเมตร	34.87 ± 0.05	35.40 ± 0.04	33.67 ± 0.00	29.93 ± 0.04	33.53 ± 0.05
40 นาโนเมตร	29.80 ± 0.05	28.80 ± 0.05	29.67 ± 0.00	25.00 ± 0.07	24.00 ± 0.00
50 นาโนเมตร	43.30 ± 0.00	39.00 ± 0.00	33.73 ± 0.00	29.80 ± 0.00	27.87 ± 0.00
60 นาโนเมตร	42.00 ± 0.00	40.67 ± 0.00	34.33 ± 0.00	29.00 ± 0.00	26.33 ± 0.00
70 นาโนเมตร	38.97 ± 0.00	35.31 ± 0.00	33.98 ± 0.00	29.32 ± 0.00	24.32 ± 0.00
80 นาโนเมตร	37.31 ± 0.00	33.31 ± 0.00	30.99 ± 0.00	28.99 ± 0.00	22.99 ± 0.00
90 นาโนเมตร	35.99 ± 0.00	33.32 ± 0.00	30.66 ± 0.00	29.99 ± 0.00	20.32 \pm 0.00
100 นาโนเมตร	35.33 ± 0.00	33.33 ± 0.00	29.00 ± 0.00	25.00 ± 0.00	21.33 ± 0.00

2) นำผลการวิเคราะห์ความเข้มแส้งส่องผ่านและการสะท้อนแส้งที่บันทึกในตารางมาแสดงเป็นกราฟ

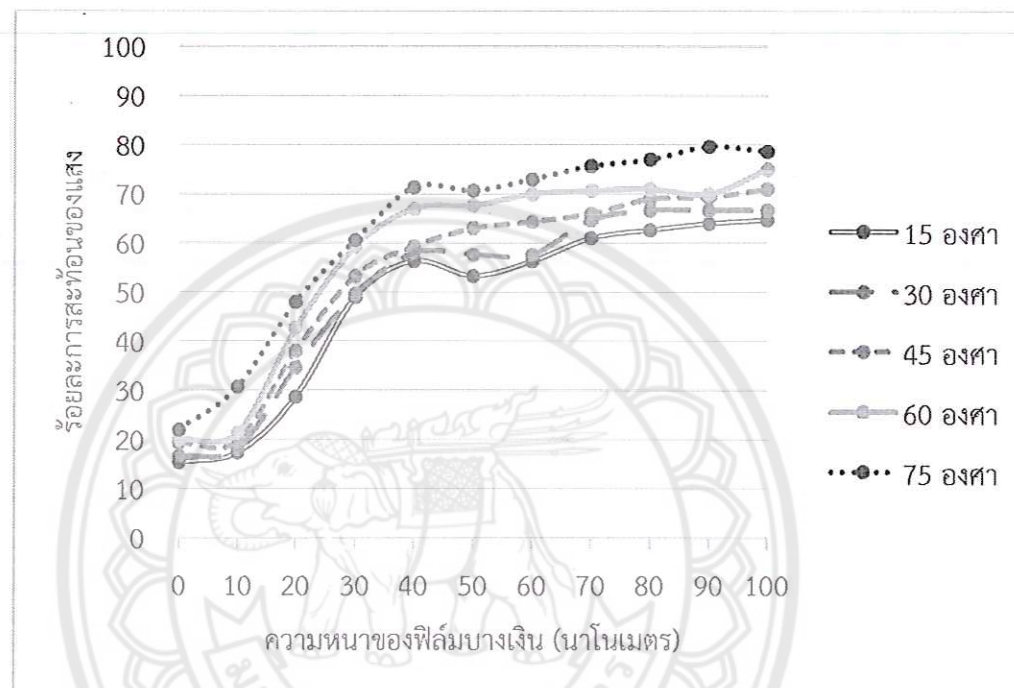
2.1 กราฟแสดงผลการวิเคราะห์ร้อยละความเข้มแส้งส่องผ่านของกระจกเคลือบฟิล์มบางเงินด้วยความหนา 0-100 นาโนเมตร ด้วยมุน 0, 15, 30, 45, 60 และ 75 องศา โดยใช้ต้นกำเนิดแส้งความยาวคลื่น 405 นาโนเมตร



รูปที่ 4.7 ร้อยละความเข้มแส้งส่องผ่านของกระจกเคลือบฟิล์มบางเงิน

รูปที่ 4.7 ร้อยละความเข้มแส้งส่องผ่าน พนว่าต้นกำเนิดแส้งความยาวคลื่น 405 นาโนเมตร นั้นสามารถให้แส้งส่องผ่านจากกระจกเคลือบฟิล์มบางเงินด้วยความหนา 0 นาโนเมตร ที่มุน 0 และ 15 องศา ได้มากถึง 84% ความหนา 10-60 นาโนเมตร นั้นสามารถส่องผ่านกระจกเคลือบฟิล์มบางได้ประมาณ 1-53% หลังจากตั้งแต่ความหนา 70-100 นาโนเมตร นั้นสามารถส่องผ่านกระจกเคลือบฟิล์มบางได้ใกล้เคียงกับ 0% มาก เพราะยิ่งความหนามากขึ้น การส่องผ่านของแสงที่มุนต์จะลดลงเรื่อยๆ

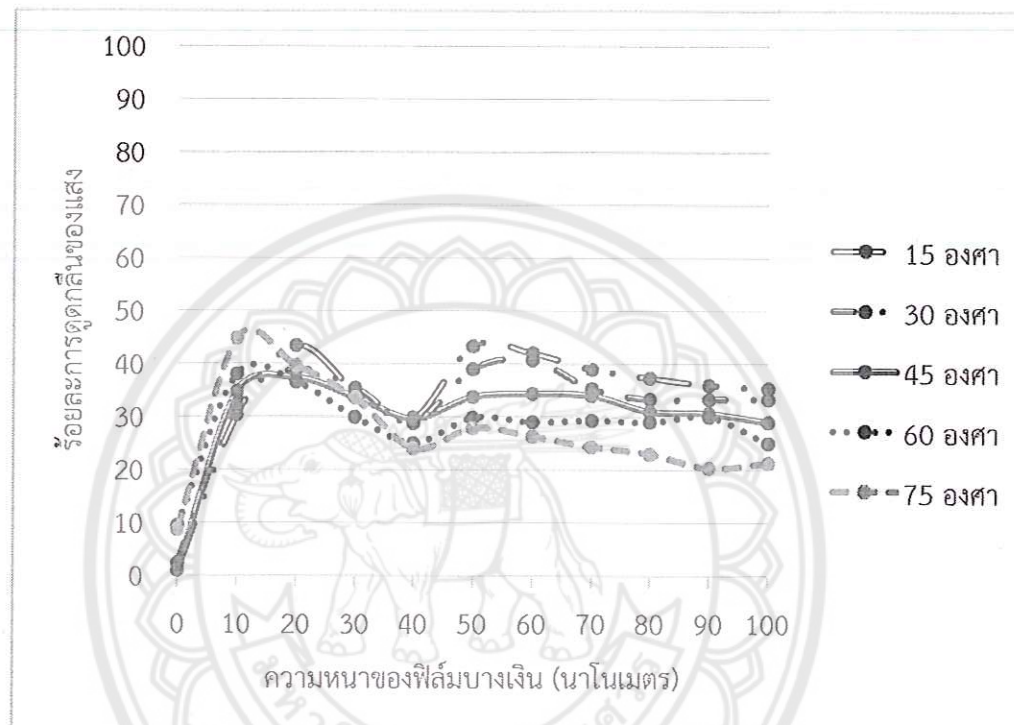
2.2 กราฟแสดงผลการวิเคราะห์ร้อยละการสะท้อนแสงจากกระเจ้าเคลือบฟิล์มบางเงินด้วยความหนา 0-100 นาโนเมตร ด้วยมุน 15, 30, 45, 60 และ 75 องศา โดยใช้ต้นกำเนิดแสงความยาวคลื่น 405 นาโนเมตร



รูปที่ 4.8 ร้อยละการสะท้อนแสงของกระเจ้าเคลือบฟิล์มบางเงิน

รูปที่ 4.8 ร้อยละการสะท้อนแสง พบร่วมกับต้นกำเนิดแสงความยาวคลื่น 405 นาโนเมตร นั้นสามารถให้แสงสะท้อนแสงจากกระเจ้าเคลือบฟิล์มบางเงินด้วยความหนา 90 และ 100 นาโนเมตร ที่มุน 75 องศา ได้มากถึง 79% และความหนา 0-80 นาโนเมตร นั้นสามารถสะท้อนจากกระเจ้าเคลือบฟิล์มบางได้ประมาณ 15-77% เนื่องจากต้นกำเนิดแสงความยาวคลื่น 405 นาโนเมตรพบว่า ค่าการสะท้อนจะเพิ่มขึ้นตามมุนต์กระเจ้าและความหนาของฟิล์มบางเงิน

2.3 กราฟแสดงผลการวิเคราะห์ร้อยละการดูดกลืนแสงของกระจกเคลื่อนที่บนพื้นบางเฉินด้วยความหนา 0-100 นาโนเมตร ด้วยมุน 0, 15, 30, 45, 60 และ 75 องศา โดยใช้ต้นกำเนิดแสงความยาวคลื่น 405 นาโนเมตร



รูปที่ 4.9 ร้อยละการดูดกลืนแสงของกระจกเคลื่อนที่บนพื้นบางเฉิน

รูปที่ 4.9 ร้อยละการดูดกลืนแสงของกระจกเคลื่อนที่บนพื้นบางเฉินที่ความหนา 10 นาโนเมตร นั้นสามารถดูดกลืนแสงต้นกำเนิดแสงความยาวคลื่น 405 นาโนเมตร ได้ดีที่สุดที่มุน 75 องศา มากถึง 44.80 % ที่ความหนา 50-100 นาโนเมตร พบว่ากระจกเคลื่อนที่บนพื้นบางเฉินมีการดูดกลืนแสงอยู่ที่ 27-45 % แต่ที่ความหนา 40 นาโนเมตร พบว่าร้อยละการดูดกลืนแสงภายใต้มุนตากกระทบต่างๆ มีค่าน้อยสุดถึง 30 % เนื่องจากที่ความหนานี้มีการส่องผ่านและการสะท้อนของแสงได้ดีที่สุด

ตารางที่ 4.4 ตารางบันทึกผลการวิเคราะห์ร้อยละความเข้มแสลงส่องผ่านของกระจกเคลือบฟิล์ม
บางเงินด้วยความหนา 0-100 นาโนเมตร ด้วยมุม 0, 15, 30, 45, 60 และ 75 องศา โดยใช้ต้น
กำเนิดแสงความยาวคลื่น 532 นาโนเมตร

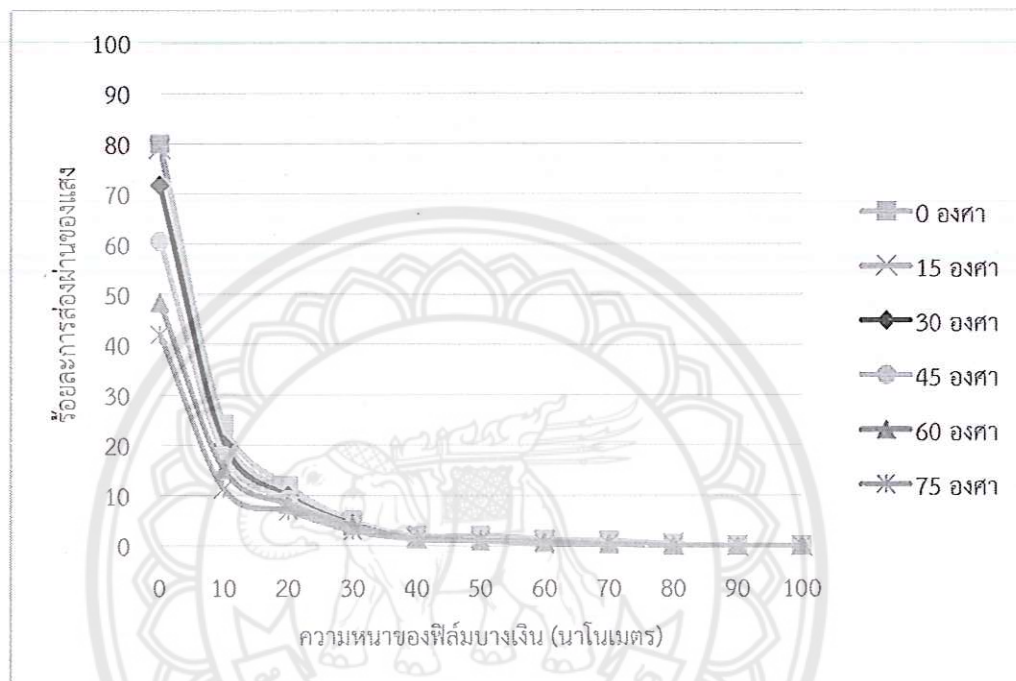
ตารางที่ 4.5 ตารางบันทึกผลการวิเคราะห์ร้อยละการสะท้อนแสงจากกระเบื้องพื้นบางเงิน
ด้วยความหนา 0-100 นาโนเมตร ด้วยมุม 15, 30, 45, 60 และ 75 องศา โดยใช้ต้นกำเนิดแสง
ความยาวคลื่น 532 นาโนเมตร

ความหนาของพื้นบางเงิน	เลเซอร์สีเขียว 532 นาโนเมตร				
	15 องศา	30	45	60	75
	องศา	องศา	องศา	องศา	องศา
0 นาโนเมตร	20.00 ± 0.00	25.67 ± 0.00	29.33 ± 0.00	32.00 ± 0.00	39.00 ± 0.00
10 นาโนเมตร	30.00 ± 0.00	31.00 ± 0.00	32.00 ± 0.00	35.00 ± 0.00	41.67 ± 0.00
20 นาโนเมตร	71.00 ± 0.00	75.33 ± 0.00	78.00 ± 0.00	82.33 ± 0.00	84.67 ± 0.00
30 นาโนเมตร	67.33 ± 0.00	71.67 ± 0.00	78.67 ± 0.00	81.67 ± 0.00	85.33 ± 0.00
40 นาโนเมตร	76.67 ± 0.00	78.33 ± 0.00	80.67 ± 0.00	83.00 ± 0.00	84.00 ± 0.00
50 นาโนเมตร	78.33 ± 0.00	80.67 ± 0.00	85.67 ± 0.00	88.33 ± 0.00	90.67 ± 0.00
60 นาโนเมตร	80.00 ± 0.00	81.67 ± 0.00	83.33 ± 0.00	85.00 ± 0.00	87.33 ± 0.00
70 นาโนเมตร	50.33 ± 0.00	53.00 ± 0.00	58.67 ± 0.00	61.67 ± 0.00	68.33 ± 0.00
80 นาโนเมตร	77.00 ± 0.00	79.33 ± 0.00	81.33 ± 0.00	90.67 ± 0.00	96.67 ± 0.00
90 นาโนเมตร	77.00 ± 0.00	79.33 ± 0.00	81.00 ± 0.00	86.67 ± 0.00	90.67 ± 0.00
100 นาโนเมตร	66.67 ± 0.00	75.33 ± 0.00	81.00 ± 0.00	85.33 ± 0.00	88.00 ± 0.00

ตารางที่ 4.6 ตารางบันทึกผลการวิเคราะห์ร้อยละการดูดกลืนแสงของกระจกเคลื่อนที่บนพื้นบางเงิน ด้วยความหนา 0-100 นาโนเมตร ด้วยมุน 15, 30, 45, 60 และ 75 องศา โดยใช้ต้นกำเนิดแสง ความยาวคลื่น 532 นาโนเมตร

ความหนาของพื้นบางเงิน	เลเซอร์สีเขียว 532 นาโนเมตร				
	15 องศา	30 องศา	45 องศา	60 องศา	75 องศา
0 นาโนเมตร	1.00 ± 0.00	2.67 ± 0.00	10.00 ± 0.00	19.67 ± 0.00	19.00 ± 0.00
10 นาโนเมตร	48.07 ± 0.34	48.87 ± 0.33	50.07 ± 0.25	49.87 ± 0.27	47.13 ± 0.18
20 นาโนเมตร	18.20 ± 0.08	14.8 ± 0.08	12.80 ± 0.05	9.33 ± 0.07	8.40 ± 0.04
30 นาโนเมตร	28.07 ± 0.04	24.07 ± 0.04	17.33 ± 0.00	14.33 ± 0.00	11.67 ± 0.00
40 นาโนเมตร	21.67 ± 0.00	20.33 ± 0.00	18.00 ± 0.00	15.67 ± 0.00	14.67 ± 0.00
50 นาโนเมตร	20.00 ± 0.00	18.00 ± 0.00	13.00 ± 0.00	10.67 ± 0.00	8.33 ± 0.00
60 นาโนเมตร	19.00 ± 0.00	17.67 ± 0.00	16.00 ± 0.00	14.33 ± 0.00	12.33 ± 0.00
70 นาโนเมตร	49.00 ± 0.00	46.67 ± 0.00	41.00 ± 0.00	38.00 ± 0.00	31.33 ± 0.00
80 นาโนเมตร	22.67 ± 0.00	20.33 ± 0.00	18.33 ± 0.00	9.33 ± 0.00	3.33 ± 0.00
90 นาโนเมตร	23.00 ± 0.00	20.67 ± 0.00	19.00 ± 0.00	13.33 ± 0.00	9.33 ± 0.00
100 นาโนเมตร	33.33 ± 0.00	24.67 ± 0.00	19.00 ± 0.00	14.67 ± 0.00	12.00 ± 0.00

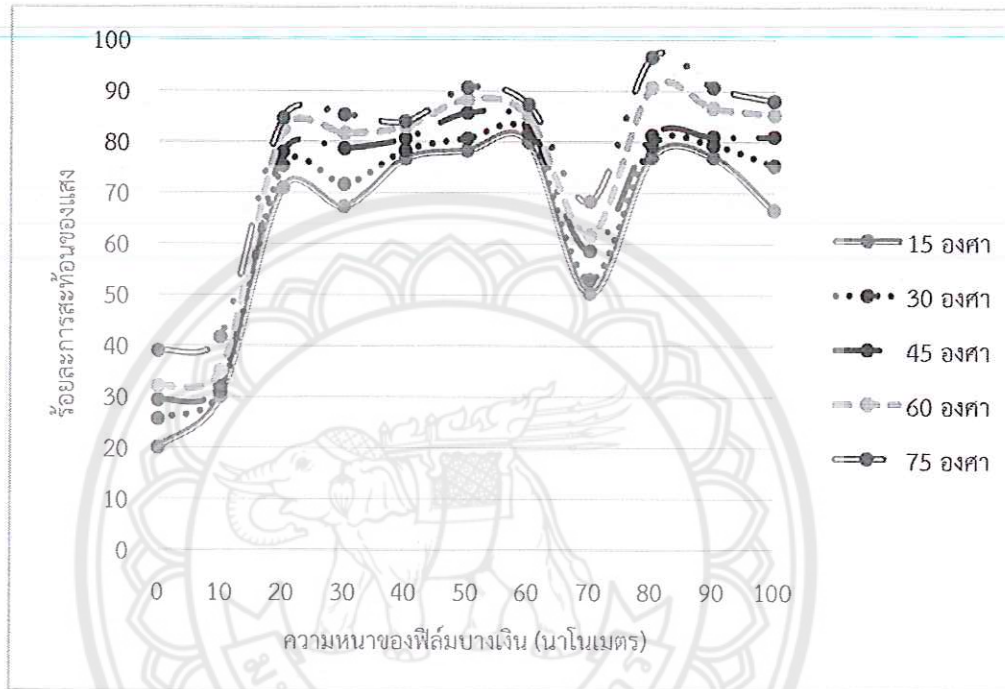
2.4 กราฟแสดงผลการวิเคราะห์ร้อยละความเข้มแสงส่องผ่านของกระจกเคลือบพิล์มบางเงินด้วยความหนา 0-100 นาโนเมตร ด้วยมุน 0, 15, 30, 45, 60 และ 75 องศา โดยใช้ต้นกำเนิดแสงความยาวคลื่น 532 นาโนเมตร



รูปที่ 4.10 ร้อยละความเข้มแสงส่องผ่านของกระจกเคลือบพิล์มบางเงิน

รูปที่ 4.10 ร้อยละความเข้มแสงส่องผ่าน พบร้าต้นกำเนิดแสงความยาวคลื่น 532 นาโนเมตร นั้นสามารถให้แสงส่องผ่านจากกระจกเคลือบพิล์มบางเงินด้วยความหนา 0 นาโนเมตร ที่มุน 0 องศา ได้มากถึง 80% และความหนา 10-60 นาโนเมตร นั้นสามารถส่องผ่านกระจกเคลือบพิล์มบางได้ประมาณ 1-24% หลังจากตั้งแต่ความหนา 70-100 นาโนเมตร นั้นสามารถส่องผ่านกระจกเคลือบพิล์มบางได้ใกล้เคียงกับ 0% มาก เพราะยิ่งความหนามากขึ้นการส่องผ่านของแสงที่มุนตกละบุต่างๆ ก็จะยิ่งลดลงเรื่อยๆ

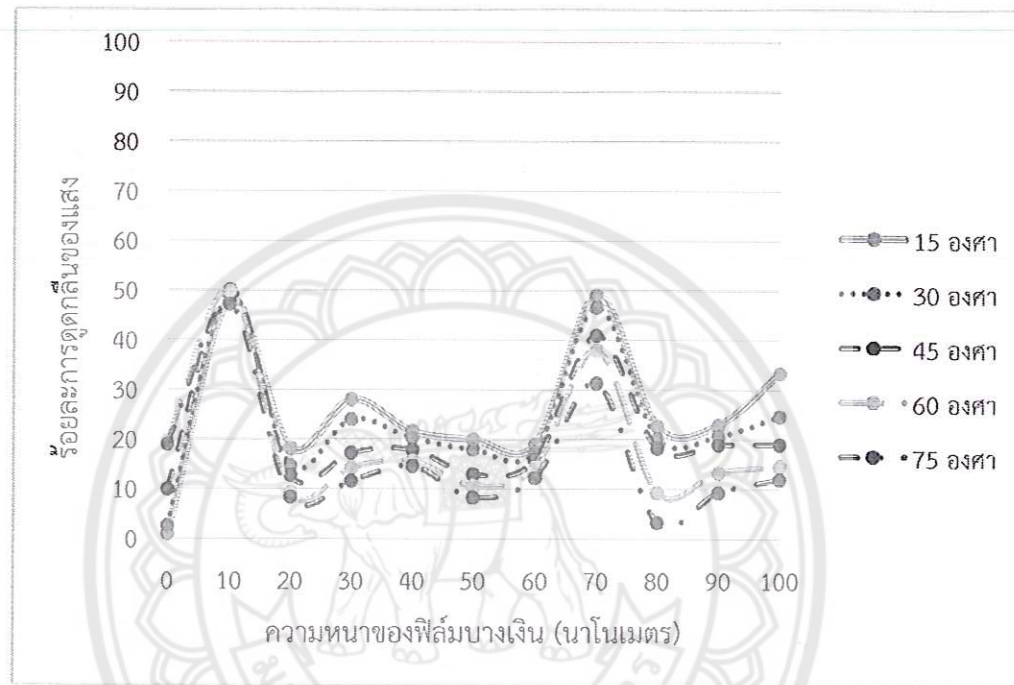
2.5 กราฟแสดงผลการวิเคราะห์ร้อยละการสะท้อนแสงจากกระจกเคลือบฟิล์มบางเงินด้วยความหนา 0-100 นาโนเมตร ด้วยมุม 15, 30, 45, 60 และ 75 องศา โดยใช้ต้นกำเนิดแสงความยาวคลื่น 532 นาโนเมตร



รูปที่ 4.11 ร้อยละการสะท้อนแสงของกระจกเคลือบฟิล์มบางเงิน

รูปที่ 4.11 ร้อยละการสะท้อนแสง พบร่วมกับต้นกำเนิดแสงความยาวคลื่น 532 นาโนเมตร นั้นสามารถให้แสงสะท้อนจากกระจกเคลือบฟิล์มบางเงินด้วยความหนา 80 นาโนเมตร ที่มุม 75 องศา ได้มากถึง 96% และความหนา 0-100 นาโนเมตร นั้นมีแนวโน้มการสะท้อนแสงเพิ่มมากขึ้น แต่ที่ความหนา 10 และ 70 นาโนเมตร สามารถสะท้อนแสงได้น้อยเพียง 30-50% เพราะฉะนั้นที่ความหนานี้มีการดูดกลืนต้นกำเนิดแสงความยาวคลื่น 532 นาโนเมตร ได้ดีในทุกราดของมุมทั้งหมด

2.6 กราฟแสดงผลการวิเคราะห์ร้อยละการดูดกลืนแสงของกระจากเคลื่อนปีกฟิล์มบางเงินด้วยความหนา 0-100 นาโนเมตร ด้วยมุน 0, 15, 30, 45, 60 และ 75 องศา โดยใช้ตันกำเนิดแสงความยาวคลื่น 532 นาโนเมตร



รูปที่ 4.12 ร้อยละการดูดกลืนแสงของกระจากเคลื่อนปีกฟิล์มบางเงิน

รูปที่ 4.12 ร้อยละการดูดกลืนแสงของกระจากเคลื่อนปีกฟิล์มบางเงินที่ความหนา 10 และ 70 นาโนเมตร ภายใต้มุนต์กระทบต่างๆ นั้นสามารถดูดกลืนแสงตันกำเนิดแสงความยาวคลื่น 532 นาโนเมตร ได้ 30-50 % และที่ความหนาอื่นๆ มีการดูดกลืนแสงอยู่ที่ 5-30 % เนื่องจากมีการส่องผ่านและ การสะท้อนแสงได้ดี

ตารางที่ 4.7 ตารางบันทึกผลการวิเคราะห์อยลักษณะความเข้มแสงส่องผ่านของกระเจ้าเคลื่อนฟิล์ม
บางเงินด้วยความหนา 0-100 นาโนเมตร ด้วยมุน 0, 15, 30, 45, 60 และ 75 องศา โดยใช้ต้น
กำเนิดแสงความยาวคลื่น 650 นาโนเมตร

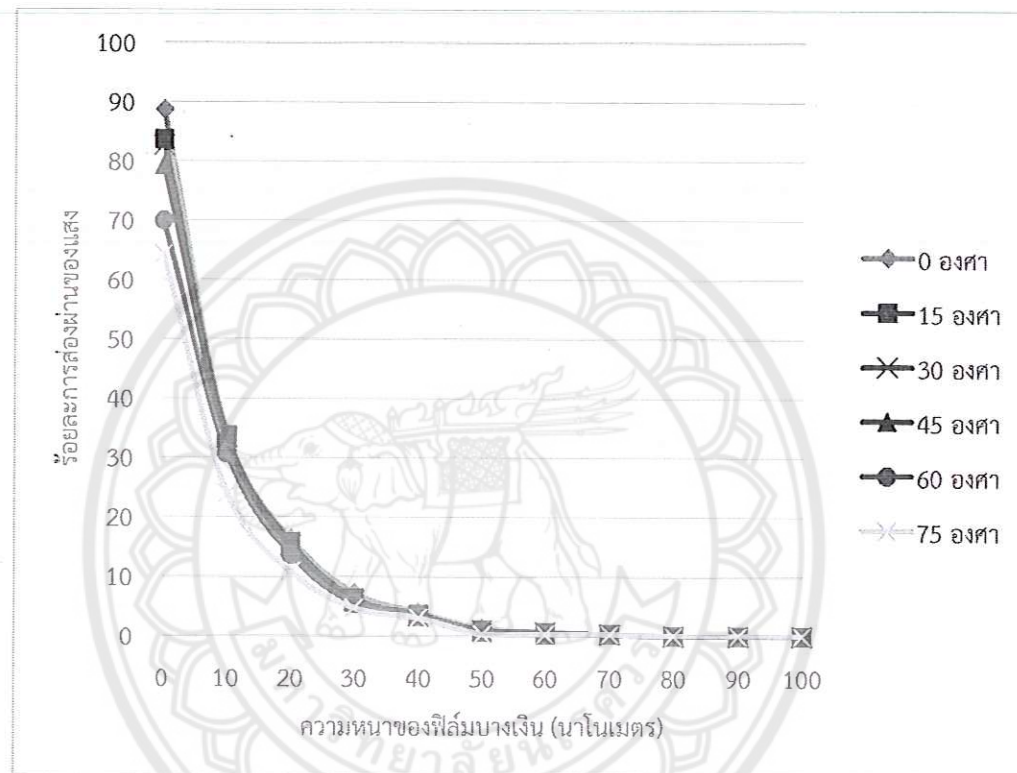
ตารางที่ 4.8 ตารางบันทึกผลการวิเคราะห์ร้อยละการสะท้อนแสงจากกระจกเคลื่อนฟิล์มบางเงิน ด้วยความหนา 0-100 นาโนเมตร ด้วยมุน 15, 30, 45, 60 และ 75 องศา โดยใช้ต้นกำเนิดแสง ความยาวคลื่น 650 นาโนเมตร

ความหนาของฟิล์มบางเงิน	เลเซอร์สีแดง 650 นาโนเมตร				
	15 องศา	30 องศา	45 องศา	60 องศา	75 องศา
0 นาโนเมตร	7.67 ± 0.00	8.00 ± 0.00	9.00 ± 0.00	11.33 ± 0.00	28.00 ± 0.00
10 นาโนเมตร	34.67 ± 0.00	37.00 ± 0.00	38.00 ± 0.00	40.00 ± 0.00	45.33 ± 0.00
20 นาโนเมตร	40.00 ± 0.00	50.00 ± 0.00	51.33 ± 0.00	52.67 ± 0.00	58.33 ± 0.00
30 นาโนเมตร	60.00 ± 0.00	61.00 ± 0.00	62.00 ± 0.00	63.33 ± 0.00	65.33 ± 0.00
40 นาโนเมตร	73.33 ± 0.00	74.33 ± 0.00	76.00 ± 0.00	76.67 ± 0.00	77.33 ± 0.00
50 นาโนเมตร	54.67 ± 0.00	56.67 ± 0.00	61.00 ± 0.00	63.00 ± 0.00	64.00 ± 0.00
60 นาโนเมตร	58.67 ± 0.00	59.67 ± 0.00	60.67 ± 0.00	61.00 ± 0.00	61.67 ± 0.00
70 นาโนเมตร	60.33 ± 0.00	61.33 ± 0.00	61.67 ± 0.00	63.00 ± 0.00	63.67 ± 0.00
80 นาโนเมตร	62.33 ± 0.00	63.00 ± 0.00	63.33 ± 0.00	65.00 ± 0.00	67.33 ± 0.00
90 นาโนเมตร	64.00 ± 0.00	64.67 ± 0.00	65.00 ± 0.00	65.33 ± 0.00	66.00 ± 0.00
100 นาโนเมตร	63.33 ± 0.00	63.67 ± 0.00	64.33 ± 0.00	65.33 ± 0.00	66.00 ± 0.00

ตารางที่ 4.9 ตารางบันทึกผลการวิเคราะห์ร้อยละการดูดกลืนแสงของกระจกเคลื่อนฟิล์มบางเงิน
ด้วยความหนา 0-100 นาโนเมตร ด้วยมุม 15, 30, 45, 60 และ 75 องศา โดยใช้ต้นกำเนิดแสง
ความยาวคลื่น 650 นาโนเมตร

ความหนาของฟิล์มบางเงิน	เลเซอร์สีแดง 650 นาโนเมตร				
	15	30	45	60	75
	องศา	องศา	องศา	องศา	องศา
0 นาโนเมตร	8.67 ± 0.00	9.33 ± 0.00	11.67 ± 0.00	18.67 ± 0.00	7.67 ± 0.00
10 นาโนเมตร	31.60 ± 0.04	29.60 ± 0.04	29.33 ± 0.00	29.33 ± 0.07	30.60 ± 0.04
20 นาโนเมตร	44.20 ± 0.05	34.67 ± 0.00	33.87 ± 0.05	33.60 ± 0.04	30.87 ± 0.05
30 นาโนเมตร	33.67 ± 0.00	33.00 ± 0.00	32.27 ± 0.04	31.17 ± 0.04	29.93 ± 0.04
40 นาโนเมตร	23.00 ± 0.00	22.33 ± 0.00	20.67 ± 0.04	20.00 ± 0.05	19.67 ± 0.04
50 นาโนเมตร	44.33 ± 0.00	42.33 ± 0.00	38.33 ± 0.00	36.33 ± 0.00	35.67 ± 0.00
60 นาโนเมตร	40.67 ± 0.00	39.67 ± 0.00	39.00 ± 0.00	38.67 ± 0.00	38.00 ± 0.00
70 นาโนเมตร	39.33 ± 0.00	38.33 ± 0.00	38.00 ± 0.00	36.67 ± 0.00	36.00 ± 0.00
80 นาโนเมตร	37.67 ± 0.00	37.00 ± 0.00	36.67 ± 0.00	35.00 ± 0.00	32.67 ± 0.00
90 นาโนเมตร	36.00 ± 0.00	35.33 ± 0.00	35.00 ± 0.00	34.67 ± 0.00	34.00 ± 0.00
100 นาโนเมตร	36.67 ± 0.00	36.33 ± 0.00	35.67 ± 0.00	34.67 ± 0.00	34.00 ± 0.00

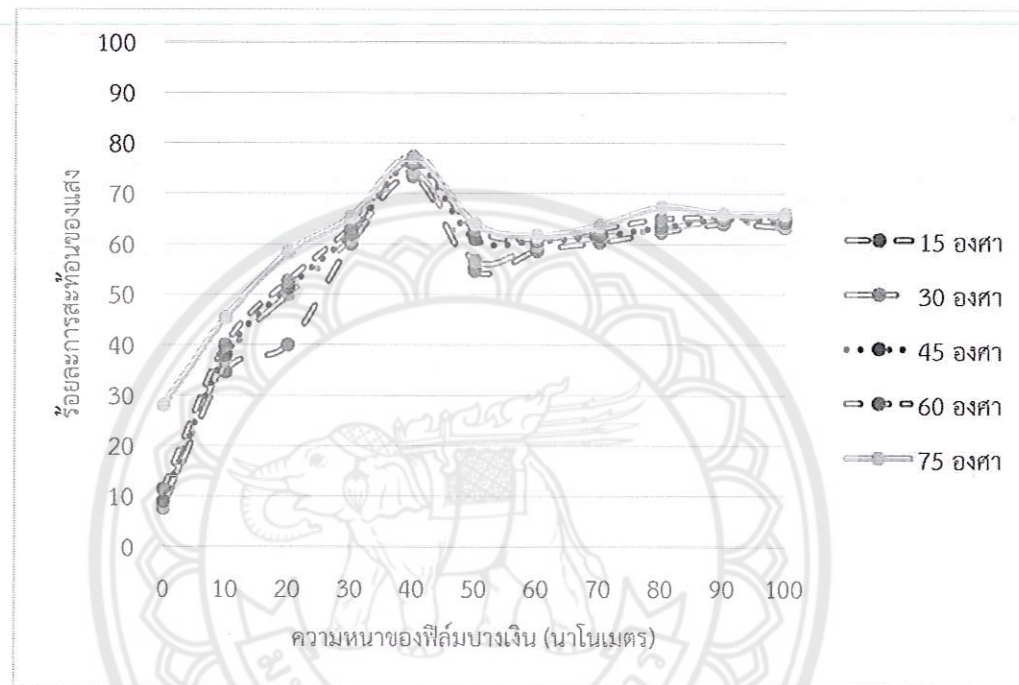
2.7 กราฟแสดงผลการวิเคราะห์ร้อยละความเข้มแสงส่องผ่านของกระจกเคลือบฟิล์มบางเงินด้วยความหนา 0-100 นาโนเมตร ด้วยมุน 0, 15, 30, 45, 60 และ 75 องศา โดยใช้ต้นกำเนิดแสงความยาวคลื่น 650 นาโนเมตร



รูปที่ 4.13 ร้อยละความเข้มแสงส่องผ่านของกระจกเคลือบฟิล์มบางเงิน

รูปที่ 4.13 ร้อยละความเข้มแสงส่องผ่าน พบร้าต้นกำเนิดแสงความยาวคลื่น 650 นาโนเมตร นั้นสามารถให้แสงส่องผ่านจากกระจกเคลือบฟิล์มบางเงินด้วยความหนา 0 นาโนเมตร ที่มุน 0 องศา ได้มากถึง 88% ความหนา 10-50 นาโนเมตร นั้นสามารถส่องผ่านกระจกเคลือบฟิล์มบาง ได้ประมาณ 1-34 % หลังจากตั้งแต่ความหนา 60-100 นาโนเมตรนั้นสามารถส่องผ่านกระจก เคลือบฟิล์มบางได้ใกล้เคียงกับ 0% มาก เพราะยิ่งความหนามากขึ้นการส่องผ่านของแสงที่มุนตก กระจบท่างๆ ก็จะยิ่งลดลงเรื่อยๆ

2.8 กราฟแสดงผลการวิเคราะห์ร้อยละการสะท้อนแสงจากกระจกเคลือบฟิล์มบางเงินด้วยความหนา 0-100 นาโนเมตร ด้วยมุน 15, 30, 45, 60 และ 75 องศา โดยใช้ต้นกำเนิดแสงความยาวคลื่น 650 นาโนเมตร



รูปที่ 4.14 ร้อยละการสะท้อนแสงของกระจกเคลือบฟิล์มบางเงิน

รูปที่ 4.14 ร้อยละการสะท้อนแสง พบร่วมกับน้ำหนักความยาวคลื่น 650 นาโนเมตร นั้นสามารถให้แสงสะท้อนจากกระจกเคลือบฟิล์มบางเงินด้วยความหนา 80 นาโนเมตรที่มุน 75 องศาได้มากถึง 67% และความหนา 0-100 นาโนเมตร นั้นมีแนวโน้มการสะท้อนแสงเพิ่มมากขึ้น แต่ที่ความหนา 40 นาโนเมตร สามารถสะท้อนแสงได้สูงที่สุดถึง 77% เพราะฉะนั้นที่ความหนานี้มีการดูดกลืนต้นกำเนิดแสงความยาวคลื่น 650 นาโนเมตร ได้อยู่ที่สุดในทุกการวัดของมนุษย์

2.9 กราฟแสดงผลการวิเคราะห์ร้อยละการดูดกลืนแสงของกระจกเคลือบฟิล์มบางเงินด้วยความหนา 0-100 นาโนเมตร ด้วยมุน 0, 15, 30, 45, 60 และ 75 องศา โดยใช้ต้นกำเนิดแสงความยาวคลื่น 650 นาโนเมตร



รูปที่ 4.15 ร้อยละการดูดกลืนแสงของกระจกเคลือบฟิล์มบางเงิน

รูปที่ 4.15 ร้อยละการดูดกลืนแสงของกระจกเคลือบฟิล์มบางเงินในทุกๆ ความหนาภายในได้มุ่งตั้งกรอบต่างๆ นั้นสามารถดูดกลืนแสงต้นกำเนิดแสงความยาวคลื่น 650 นาโนเมตร ได้ 10-36 % แต่ที่ความหนา 40 นาโนเมตร ภายใต้มุ่งตั้งกรอบต่างๆ พบร่วมกับการดูดกลืนแสงที่ต่ำที่สุดถึง 20-23 % เนื่องจากที่ความหนานี้มีการส่องผ่านและการสะท้อนของแสงได้ดีที่สุด

ตารางที่ 4.10 ตารางบันทึกผลการวิเคราะห์ร้อยละความเข้มแสงส่องผ่านของกระจกเคลือบฟิล์ม
บางเงินด้วยความหนา 0-100 นาโนเมตร ด้วยมุม 0, 15, 30, 45, 60 และ 75 องศา โดยใช้ต้น
กำเนิดแสงความยาวคลื่น 780 นาโนเมตร

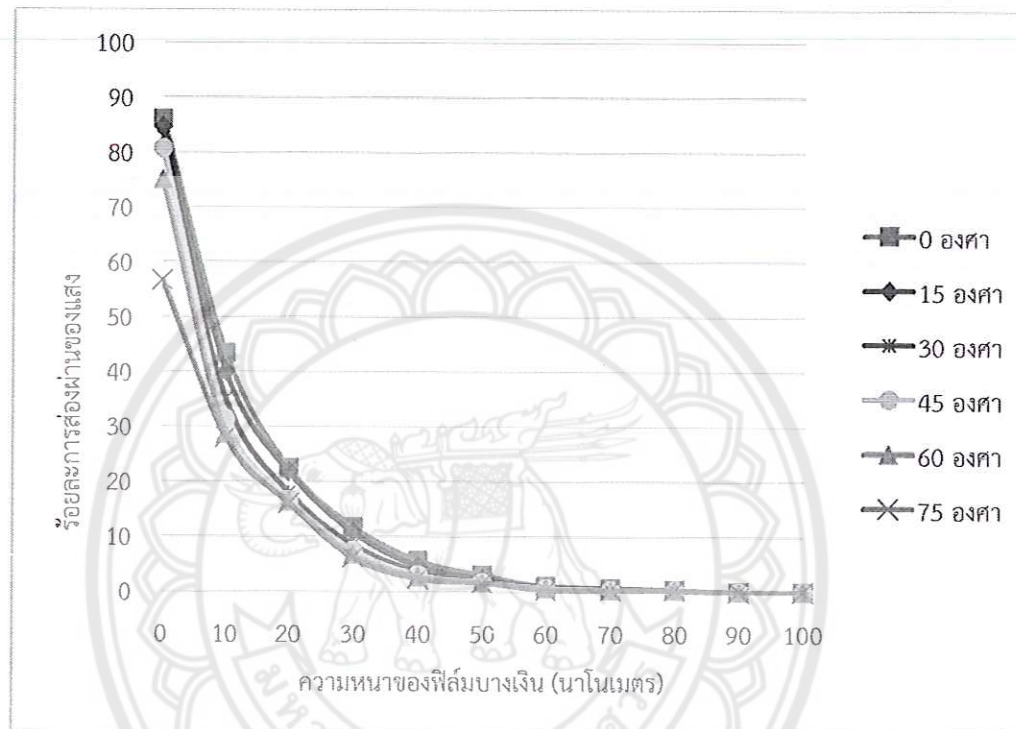
ตารางที่ 4.11 ตารางบันทึกผลการวิเคราะห์อยลักษณะการสะท้อนแสงจากกระจกเคลื่อนฟิล์มบางเงิน ด้วยความหนา 0-100 นาโนเมตร ด้วยมุม 15, 30, 45, 60 และ 75 องศา โดยใช้ต้นกำเนิดแสง ความยาวคลื่น 780 นาโนเมตร

ความหนาของฟิล์มบางเงิน	เลเซอร์อินฟารेड 780 นาโนเมตร				
	15 องศา	30 องศา	45 องศา	60 องศา	75 องศา
0 นาโนเมตร	5.33 ± 0.00	6.00 ± 0.00	6.67 ± 0.00	7.33 ± 0.00	10.33 ± 0.00
10 นาโนเมตร	23.67 ± 0.00	27.33 ± 0.00	32.33 ± 0.00	33.67 ± 0.00	37.33 ± 0.00
20 นาโนเมตร	66.00 ± 0.00	67.33 ± 0.00	72.33 ± 0.00	73.33 ± 0.00	75.00 ± 0.00
30 นาโนเมตร	67.33 ± 0.00	70.33 ± 0.00	72.67 ± 0.00	76.00 ± 0.00	77.33 ± 0.00
40 นาโนเมตร	67.33 ± 0.00	78.33 ± 0.00	82.67 ± 0.00	86.00 ± 0.00	90.00 ± 0.00
50 นาโนเมตร	66.00 ± 0.00	67.33 ± 0.00	73.00 ± 0.00	75.00 ± 0.00	77.40 ± 0.00
60 นาโนเมตร	60.00 ± 0.00	60.67 ± 0.00	63.67 ± 0.00	67.00 ± 0.00	74.33 ± 0.00
70 นาโนเมตร	60.00 ± 0.00	60.67 ± 0.00	62.33 ± 0.00	63.33 ± 0.00	65.00 ± 0.00
80 นาโนเมตร	62.67 ± 0.00	64.33 ± 0.00	66.67 ± 0.00	68.33 ± 0.00	70.00 ± 0.00
90 นาโนเมตร	61.67 ± 0.00	63.00 ± 0.00	65.33 ± 0.00	67.00 ± 0.00	68.33 ± 0.00
100 นาโนเมตร	62.00 ± 0.00	64.00 ± 0.00	68.00 ± 0.00	69.33 ± 0.00	70.00 ± 0.00

ตารางที่ 4.12 ตารางบันทึกผลการวิเคราะห์อยลักษณะการดูดกลืนแสงของกระจากเคลื่อนฟิล์มบางเงิน ด้วยความหนา 0-100 นาโนเมตร ด้วยมุม 15, 30, 45, 60 และ 75 องศา โดยใช้ต้นกำเนิดแสง ความยาวคลื่น 780 นาโนเมตร

ความหนาของฟิล์มบางเงิน	เลเซอร์อินฟารेड 780 นาโนเมตร				
	15 องศา	30 องศา	45 องศา	60 องศา	75 องศา
0 นาโนเมตร	10.00 ± 0.00	11.33 ± 0.00	12.67 ± 0.00	17.67 ± 0.00	33.00 ± 0.00
10 นาโนเมตร	36.33 ± 0.04	37.67 ± 0.00	36.33 ± 0.00	37.67 ± 0.00	34.67 ± 0.00
20 นาโนเมตร	12.23 ± 0.20	14.67 ± 0.08	11.00 ± 0.08	10.33 ± 0.04	9.00 ± 0.05
30 นาโนเมตร	21.87 ± 0.00	21.13 ± 0.00	19.87 ± 0.00	17.27 ± 0.00	16.47 ± 0.00
40 นาโนเมตร	28.00 ± 0.00	18.00 ± 0.00	14.33 ± 0.00	11.33 ± 0.00	7.67 ± 0.00
50 นาโนเมตร	31.67 ± 0.00	30.67 ± 0.00	25.33 ± 0.00	23.33 ± 0.00	20.93 ± 0.00
60 นาโนเมตร	39.00 ± 0.00	38.33 ± 0.00	35.67 ± 0.00	32.33 ± 0.00	25.33 ± 0.00
70 นาโนเมตร	39.33 ± 0.00	38.67 ± 0.00	37.33 ± 0.00	36.33 ± 0.00	34.67 ± 0.00
80 นาโนเมตร	37.00 ± 0.00	35.33 ± 0.00	33.00 ± 0.00	31.33 ± 0.00	29.67 ± 0.00
90 นาโนเมตร	38.33 ± 0.00	37.00 ± 0.00	34.67 ± 0.00	33.00 ± 0.00	31.67 ± 0.00
100 นาโนเมตร	38.00 ± 0.00	36.00 ± 0.00	32.00 ± 0.00	30.67 ± 0.00	30.00 ± 0.00

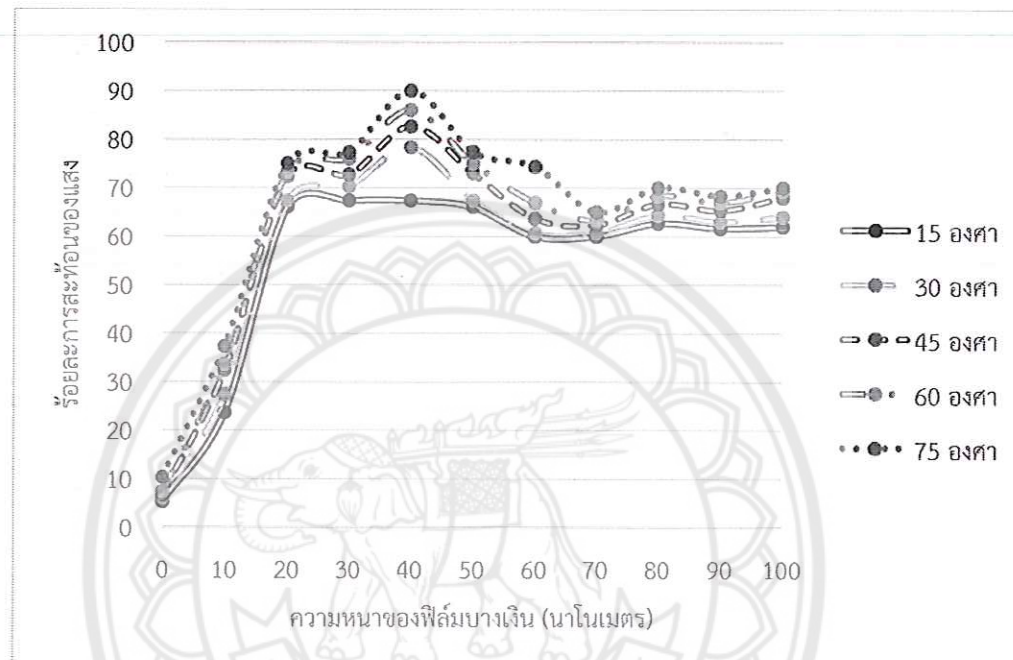
2.10 กราฟแสดงผลการวิเคราะห์ร้อยละความเข้มแสงส่องผ่านของกระจกเคลือบฟิล์มบาง
เงินด้วยความหนา 0-100 นาโนเมตร ด้วยมุน 0, 15, 30, 45, 60 และ 75 องศา โดยใช้ตันกำเนิด
แสงความยาวคลื่น 780 นาโนเมตร



รูปที่ 4.16 ร้อยละความเข้มแสงส่องผ่านของกระจกเคลือบฟิล์มบางเงิน

รูปที่ 4.16 ร้อยละความเข้มแสงส่องผ่าน พบร่วมกับตันกำเนิดแสงความยาวคลื่น 780 นาโนเมตร นั้นสามารถให้แสงส่องผ่านจากกระจกเคลือบฟิล์มบางเงินด้วยความหนา 0 นาโนเมตร ที่มุน 0 องศา ได้มากถึง 86% และความหนา 10-50 นาโนเมตร นั้นสามารถส่องผ่านกระจกเคลือบฟิล์มบางได้ประมาณ 1-43% หลังจากตั้งแต่ความหนา 60-100 นาโนเมตร นั้นสามารถส่องผ่านกระจกเคลือบฟิล์มบางได้ใกล้เคียงกับ 0% มาก เพราะยิ่งความหนานากขึ้นการส่องผ่านของแสงที่มุนตกกระหบต่างๆ ก็จะยิ่งลดลงเรื่อยๆ

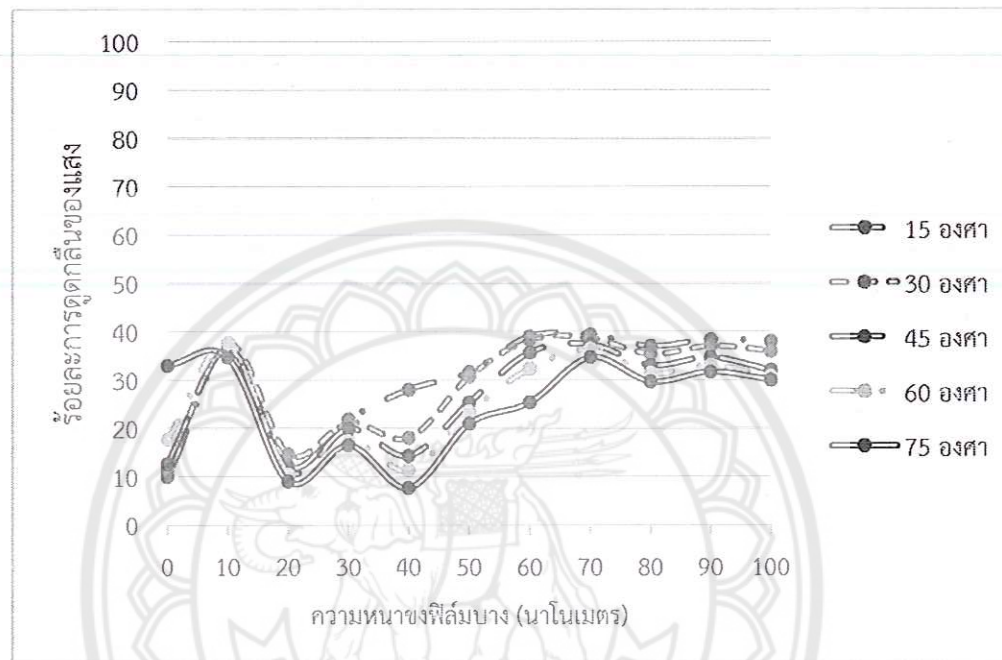
2.11 กราฟแสดงผลการวิเคราะห์ร้อยละการสะท้อนแสงจากกระจกเคลือบฟิล์มบางเงิน ด้วยความหนา 0-100 นาโนเมตร ด้วยมุ่ง 15, 30, 45, 60 และ 75 องศา โดยใช้ต้นกำเนิดแสง ความยาวคลื่น 780 นาโนเมตร



รูปที่ 4.17 ร้อยละการสะท้อนแสงของกระจกเคลือบฟิล์มบางเงิน

รูปที่ 4.17 ร้อยละการสะท้อนแสง พ布ว่าต้นกำเนิดแสงความยาวคลื่น 780 นาโนเมตร นั้น สามารถให้แสงสะท้อนจากกระจกเคลือบฟิล์มบางเงินที่ความหนา 0-100 นาโนเมตร นั้นมีแนวโน้ม การสะท้อนแสงเพิ่มมากขึ้น แต่ความหนา 40 นาโนเมตร สามารถสะท้อนแสงได้สูงที่สุดถึง 90% เพราะฉะนั้นที่ความหนานี้มีการตุดกลืนต้นกำเนิดแสงความยาวคลื่น 780 นาโนเมตร ได้อยู่ที่สุด ในทุกการวัดของมุมตักษะ

2.12 กราฟแสดงผลการวิเคราะห์ร้อยละการดูดกลืนแสงของกระจกเคลือบฟิล์มบางเงิน ด้วยความหนา 0-100 นาโนเมตร ด้วยมุม 0, 15, 30, 45, 60 และ 75 องศา โดยใช้ต้นกำเนิดแสง ความยาวคลื่น 780 นาโนเมตร



รูปที่ 4.18 ร้อยละการดูดกลืนแสงของกระจกเคลือบฟิล์มบางเงิน

รูปที่ 4.18 ร้อยละการดูดกลืนแสงของกระจกเคลือบฟิล์มบางเงิน พบร่วมกันทุกๆ ความหนา ภายใต้มุมตั้งแต่ 0° จนถึง 75° สามารถดูดกลืนแสงต้นกำเนิดแสงความยาวคลื่น 780 นาโนเมตร ได้ 10–40 % แต่ที่ความหนา 20 นาโนเมตร ภายใต้มุมตั้งแต่ 0° จนถึง 75° พบร่วมกับการดูดกลืนแสง ต่ำสุดถึง 10-15 % เนื่องจากที่ความหนานี้มีการส่องผ่านแสงที่ดี และที่ความหนา 40 นาโนเมตร ภายใต้มุมตั้งแต่ 0° จนถึง 75° พบร่วมกับการดูดกลืนแสงต่ำถึง 10-30 % เนื่องจากที่ความหนานี้มีการ ส่องผ่านแสงได้ดีที่สุด

บทที่ 5

สรุปผล

จากการทำวิเคราะห์ลักษณะทางกายภาพโดยถ่ายจากกล้องจุลทรรศน์อิเล็กตรอนแบบส่องการดูแลเคราะห์สมบัติทางแสงโดยใช้ต้นกำเนิดแสงความยาวคลื่น 4 ความยาวคลื่น “ได้แก่ 405, 532, 650 และ 780 นาโนเมตร พบร่วมกับ

1. กระเจ้าเคลือบฟิล์มบางเงินความหนา 20, 40, 60 และ 100 นาโนเมตร ที่นำวิเคราะห์ลักษณะทางกายภาพกำลังขยาย 5,000 และ 10,000 เท่า ที่ความหนา 20 นาโนเมตร จะมีพื้นผิวของเงินที่ค่อนข้างบางและไม่สม่ำเสมอ ความหนา 40 นาโนเมตร จะมีพื้นผิวของเงินที่สม่ำเสมอมากขึ้น และที่ความหนา 60-100 นาโนเมตร พื้นผิวมีความหนาแน่นของเงินสูงทำให้เกิดการรีดและไม่สม่ำเสมอ

2. กระเจ้าเคลือบฟิล์มบางเงินนั้นสามารถส่องผ่านได้ในต้นกำเนิดแสงความยาวคลื่น 405, 532, 650 และ 780 นาโนเมตร ได้แตกต่างกัน แต่ต้นกำเนิดแสงความยาวคลื่น 405 และ 780 นาโนเมตร จะสามารถส่องผ่านกระเจ้าเคลือบฟิล์มบางเงินได้กว่าต้นกำเนิดแสงความยาวคลื่น 532 และ 650 นาโนเมตร และภาพรวมของต้นกำเนิดแสงทั้งหมด 4 ความยาวคลื่น พบร่วมกับความหนาเพิ่มมากขึ้นการส่องผ่านของแสงที่มุ่งตากะทบต่างๆ ก็จะยิ่งลดลงเรื่อยๆ

3. กระเจ้าเคลือบฟิล์มบางเงินนั้นสามารถสะท้อนแสงได้ในต้นกำเนิดแสงความยาวคลื่น 405, 532, 650 และ 780 นาโนเมตร มีค่าแตกต่างกัน ความยาวคลื่น 405 นาโนเมตร สามารถสะท้อนแสงได้ที่สุดด้วยความหนา 100 นาโนเมตร (71.20%), ความยาวคลื่น 532 นาโนเมตร สามารถสะท้อนแสงได้ที่สุดด้วยความหนา 80 นาโนเมตร (85.00%), ความยาวคลื่น 650 นาโนเมตร สามารถสะท้อนแสงได้ที่สุดด้วยความหนา 40 นาโนเมตร (75.53%) และความยาวคลื่น 780 นาโนเมตร สามารถสะท้อนแสงได้ที่สุดด้วยความหนา 40 นาโนเมตร (80.86%) ภาพรวมของต้นกำเนิดแสงที่ต่างกันจะพบว่าค่าการสะท้อนจะเพิ่มขึ้นตามมุ่งตากะทบและความหนาของฟิล์มบางเงิน

อย่างไรก็ตามผลการวิจัยเป็นต้นทำให้ผู้วิจัยทราบว่า หากต้องการนำกระจาดเคลื่อนฟิล์มบางเงินไปใช้เพื่อที่จะพัฒนาใช้เป็นกระจาดแบ่งลำแสง กระจากสะท้อนหรือกระจากส่องผ่านที่ใช้งานเช่นเดาะจงในแต่ละความยาวคลื่นได้ดีกว่าไปในอนาคต



บรรณานุกรม

- [1] นิรันดร์ วิทิตอนันต์, สุรัสิงห์ ไชยคุณ. การเตรียมพิล์มบางด้านการกัดกร่อนซึ่งเคลือบด้วยกระบวนการ PVD. มหาวิทยาลัยบูรพา. [ออนไลน์]. สืบค้นเมื่อวันที่ 20 กันยายน 2559, จาก http://digital_collect.lib.buu.ac.th//dcms/files//2559_073.pdf
- [2] มนธินทร์ สุทธิเชษฐ์. สเปกตรัม (Spectrum). [ออนไลน์]. สืบค้นเมื่อวันที่ 21 กันยายน 2559, จาก <http://pirun.ku.ac.th/~g5414652996/files/%E0%B9%83%E0%B8%9A%E0%B8%84%E0%B8%A7%E0%B8%B2%E0%B8%A1%E0%B8%A3%E0%B8%B9%E0%B9%89%205.pdf>
- [3] แสง (Light). [ออนไลน์]. สืบค้นเมื่อวันที่ 21 กันยายน 2559, จาก <http://www.atom.rmutphysics.com/charud/oldnews/231/Light1.htm>
- [4] คุณสมบัติของแสง. [ออนไลน์]. สืบค้นเมื่อวันที่ 21 กันยายน 2559, จาก http://202.143.165.163/sci_t1/chap12/chap12_4.pdf
- [5] สมบัติของแสงของวัตถุ. [ออนไลน์]. สืบค้นเมื่อวันที่ 22 กันยายน 2559, จาก <http://physics.science.cmu.ac.th/courses/210351/Large%205.pdf>
- [6] ความรู้เบื้องต้นเกี่ยวกับเลเซอร์. [ออนไลน์]. สืบค้นเมื่อวันที่ 21 กันยายน 2559, จาก http://www.sc.mahidol.ac.th/scpy/Optics/basic_laser3.htm
- [7] ขั้นตอนของเลเซอร์. [ออนไลน์]. สืบค้นเมื่อวันที่ 22 กันยายน 2559, จาก <http://kanchanapisek.or.th/kp6 / sub/book/book.php?book=20&chap=5&page=t20-5-infodetail06.html>
- [8] Vacuum Technology and Thin Films Research Lab. [ออนไลน์]. สืบค้นเมื่อวันที่ 23 กันยายน 2559, จาก <http://vttf.buu.ac.th/index.php>
- [9] ทฤษฎีเบื้องต้นของการสปัตเตอริ่ง (Sputtering). [ออนไลน์]. สืบค้นเมื่อวันที่ 23 กันยายน 2559, จาก http://www.sut.ac.th/engineering/Electrical/courses/429650/I%20Week%209_Etching.pdf
- [10] ร.อ. พัฒนา เทพชาลิดร.เทคนิค ดีซี แมกนีตرونสปัตเตอริ่ง. [ออนไลน์]. สืบค้นเมื่อวันที่ 24 กันยายน 2559, จาก <http://www.thapra.lib.su.ac.th/objects/thesis/fulltext/snamcn/>

Pattana_Thepchalotorn/Fulltext.pdf

- [11] เงิน (silver). [ออนไลน์]. สืบค้นเมื่อวันที่ 24 กันยายน 2559, จาก [https://th.wikipedia.org/wiki/%E0%B9%80%E0%B8%87%E0%B8%B4%E0%B8%99_\(%E0%B9%82%E0%B8%A5%E0%B8%AB%E0%B8%B0\)](https://th.wikipedia.org/wiki/%E0%B9%80%E0%B8%87%E0%B8%B4%E0%B8%99_(%E0%B9%82%E0%B8%A5%E0%B8%AB%E0%B8%B0))
- [12] กล้องจุลทรรศน์อิเล็กตรอนแบบส่องกราด. [ออนไลน์]. สืบค้นเมื่อวันที่ 24 กันยายน 2559, จาก http://www2.rdi.ku.ac.th/newweb/cl/documents/Sampling_forSEM.pdf
- [13] หลักการทำงานของเครื่อง SEM. [ออนไลน์]. สืบค้นเมื่อวันที่ 24 กันยายน 2559, จาก <http://www.nano.kmitl.ac.th/index.php/tool/218-scaning-eletron-microscopesem-.html>
- [14] หัววัดแสงไฟโตไดโอด. [ออนไลน์]. สืบค้นเมื่อวันที่ 25 กันยายน 2559, จาก <http://kanchanapisek.or.th/kp6/BOOK19/chapter9/t19-9-l3.htm#sect2a>
- [15] มัลติมิเตอร์ (Multimeters). [ออนไลน์]. สืบค้นเมื่อวันที่ 25 กันยายน 2559, จาก http://www.vecthai.com/main/wpcontent/uploads/2009/article/Multimeters_User_Guide.pdf
- [16] มัลติมิเตอร์แบบเข็ม (Analog Multimeters). [ออนไลน์]. สืบค้นเมื่อวันที่ 26 กันยายน 2559, จาก https://web.ku.ac.th/schoolnet/snet3/saowalak/analog_multi/analog.htm
- [17] มัลติมิเตอร์แบบตัวเลข (Digital Multimeters). [ออนไลน์]. สืบค้นเมื่อวันที่ 26 กันยายน 2559, จาก http://web.ku.ac.th/schoolnet/snet3/ saowalak/digital_multi/digital.htm
- [18] กระจก (glass). [ออนไลน์]. สืบค้นเมื่อวันที่ 26 กันยายน 2559, จาก <http://www.akesteel.com/articles/60346/%E0%B8%84%E0%B8%A7%E0%B8%B2%E0%B8%A1%E0%B8%AB%E0%B8%A1%E0%B8%B2%E0%B8%A2%E0%B8%82%E0%B8%AD%E0%B8%87%E0%B8%81%E0%B8%A3%E0%B8%B0%E0%B8%88%E0%B8%81.html>
- [19] Tomas Tamulevicius, Asta Tamuleviciene, Dainius Virganavicius, Andrius Vasiliauskas, Vitoldas Kopustinskas, Sarunas Meskinis, Sigitas Tamulevicius "Structuring of DLC:Ag nanocomposite thin films employing plasma chemical etching and ion sputtering" Nuclear Instruments and Methods in Physics Research B 341 (2014) 1–6
- [20] ออมรรัตน์ ทาเกิด "การประดิษฐ์และวิเคราะห์สมบัติทางแสงของกระจกเคลือบฟิล์มบาง ทองแดงด้วยวิธีสปัตเตอริ่ง" คณะวิทยาศาสตร์ มหาวิทยาลัยนเรศวร (2558)